Ingénierie optique

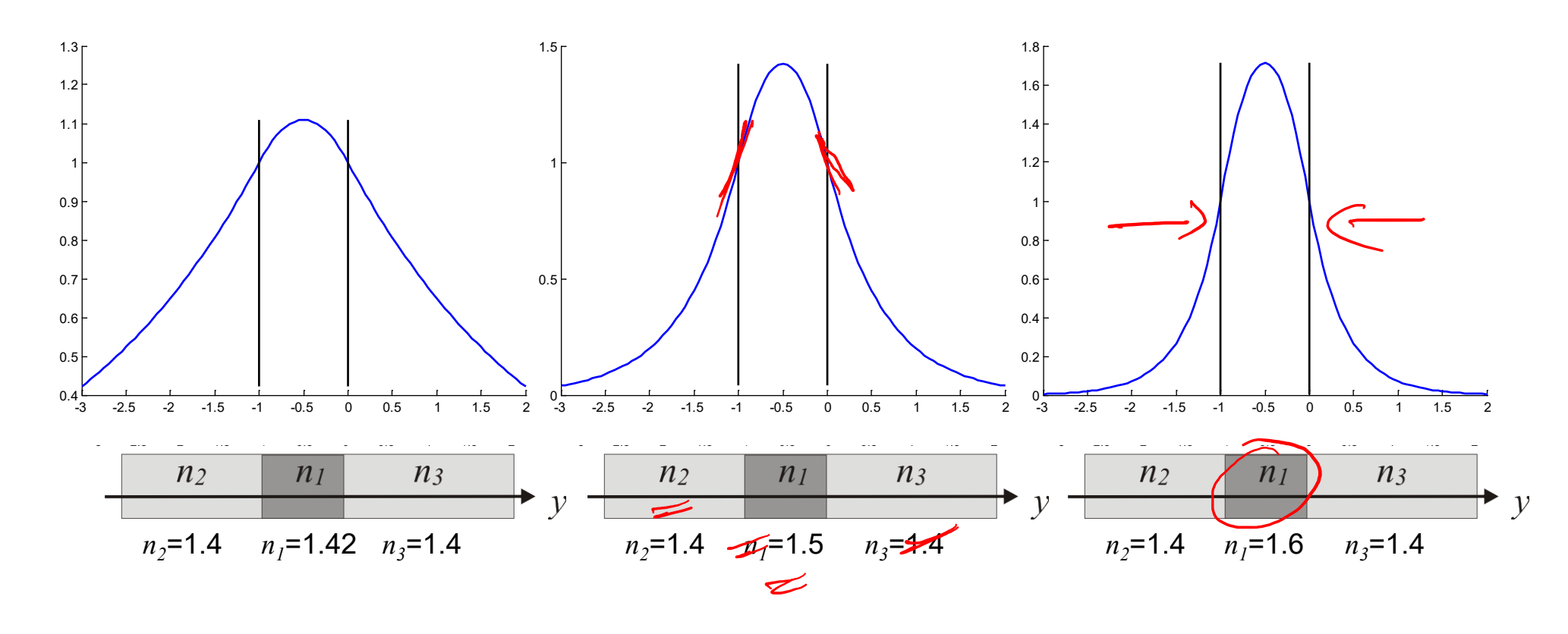
Semaine 9 – partie 1





Guides diélectriques planaires (guide 1D) – Profile du champ

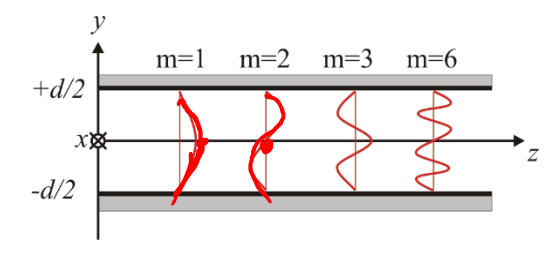
Pour un guide symétrique, il existe toujours un mode TE



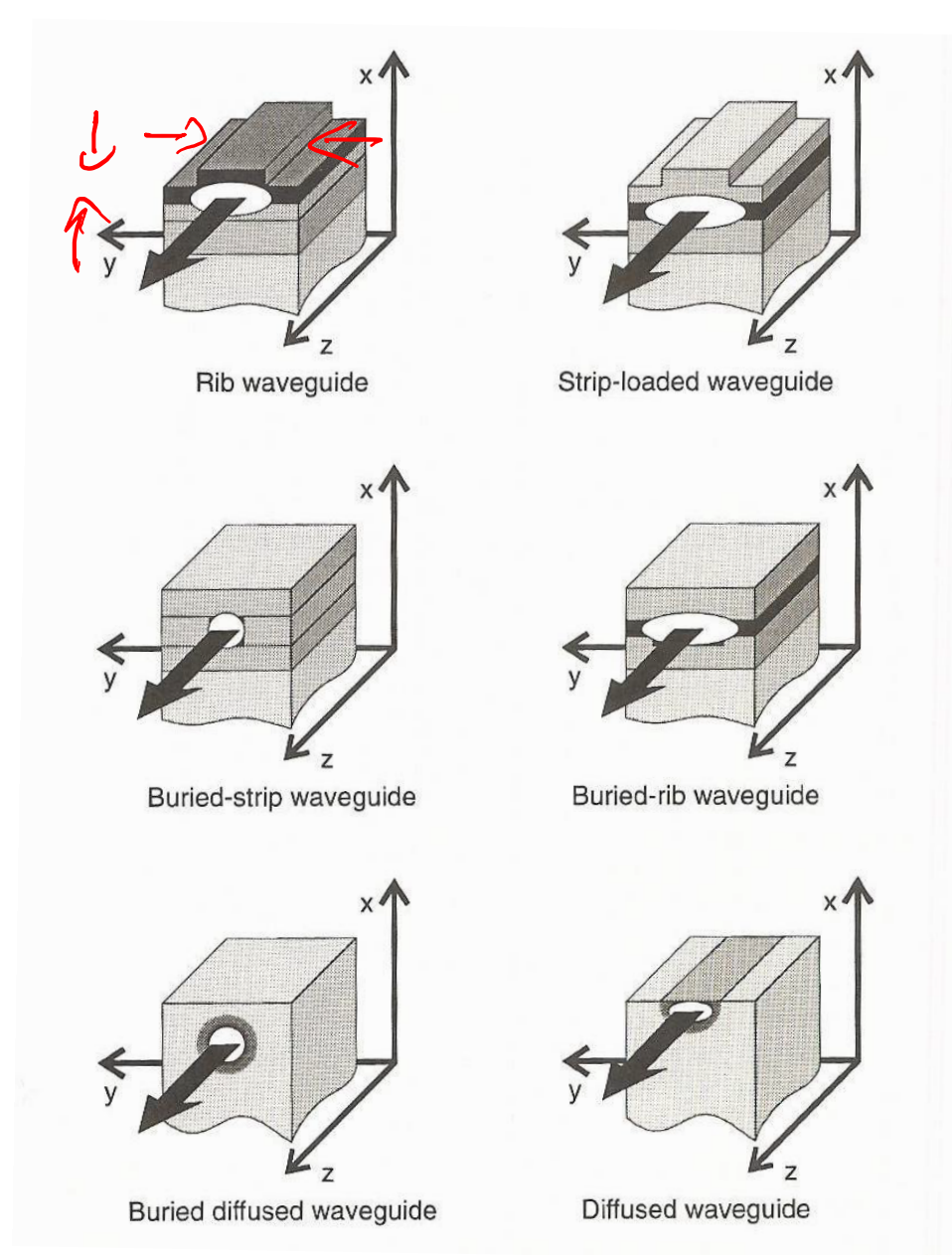
- Le nombre de modes augmente avec l'épaisseur du guide ou avec le contraste d'indice
- La lumière est guidée dans la région d'indice élevé

Guides diélectriques 2D

 Jusqu'à présent, nous avons considéré des guides qui ne confinent la lumière que dans une seule direction (guide 1D):

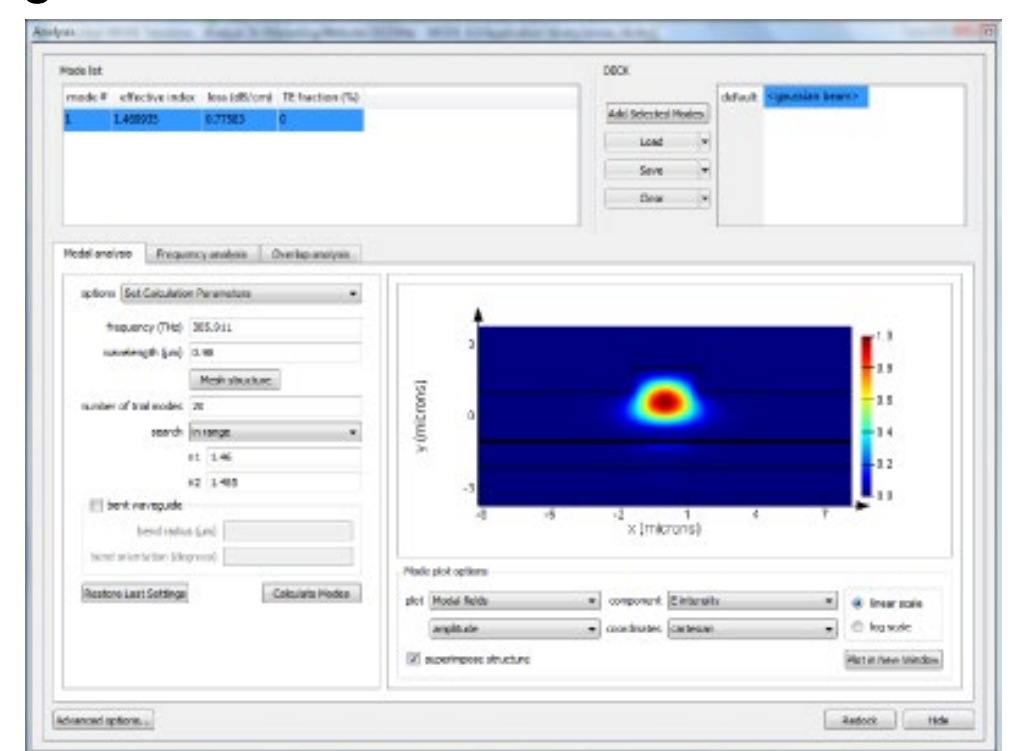


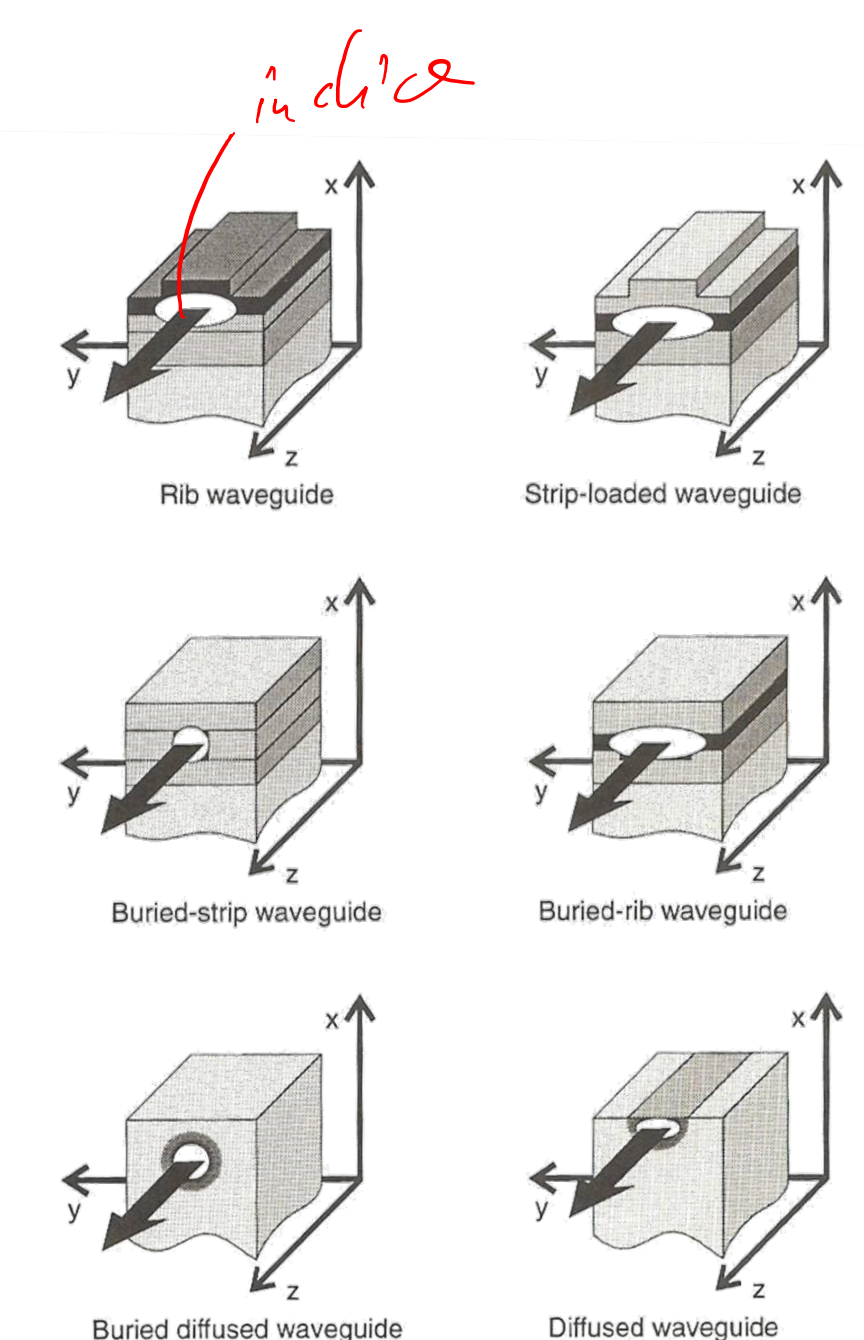
- Pour un guide 2D, le principe est toujours le même: on crée un région d'indice élevé, dans laquelle la lumière est guidée
- Des géométries variées existent qui permettent un confinement de la lumière dans les deux directions transverses et sa propagation dans la troisième direction



Guides diélectriques 2D

 On ne peut plus calculer les modes (semi)-analytiquement, il faut utiliser des méthodes numériques basées sur un maillage en éléments finis ou en différences finies de la section du guide:





R.G. Hunsperger, Integrated optics: theory and technology (3rd Ed. Springer, 1991)

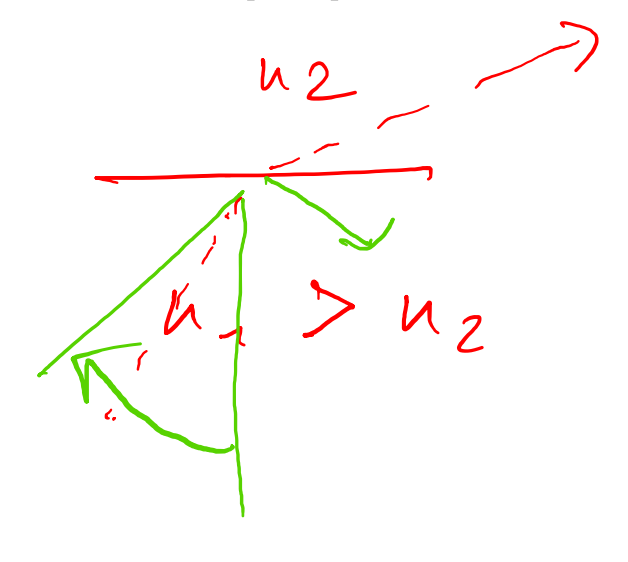
Ingénierie optique

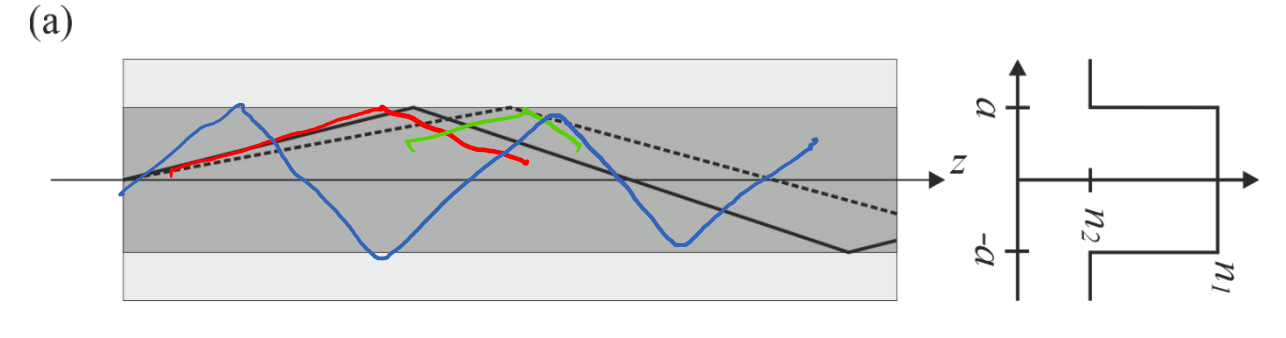
Semaine 9 – partie 2



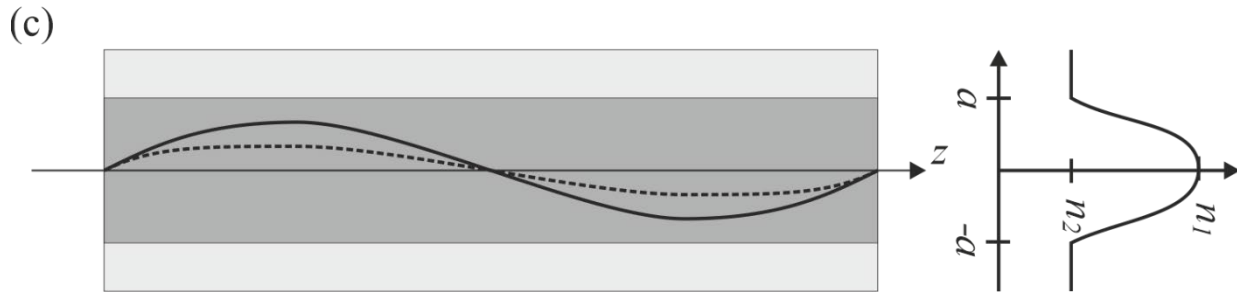


Fibres optiques



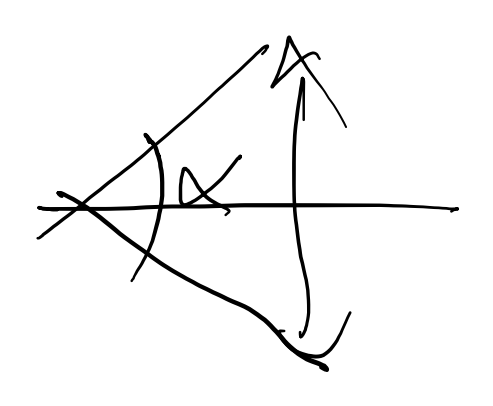


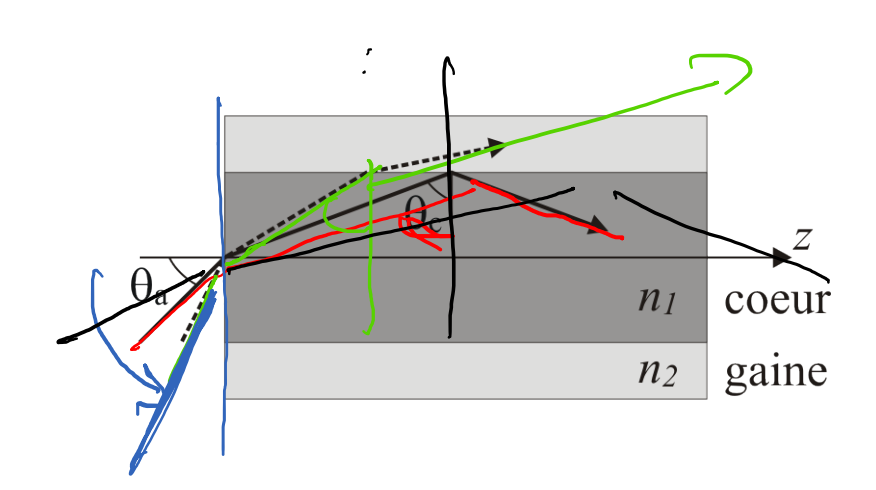


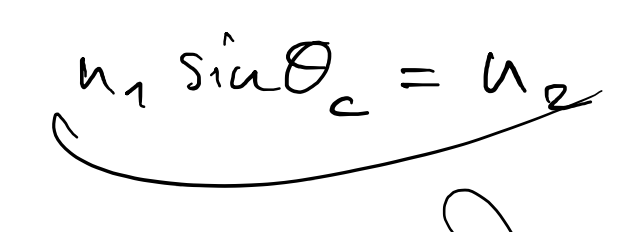


- Géométrie cylindrique
- Propagation dans la direction z
- Différents profiles d'indice existent pour le coeur de la fibre
- La gaine offre essentiellement une protection mécanique

Fibres à saut d'indice







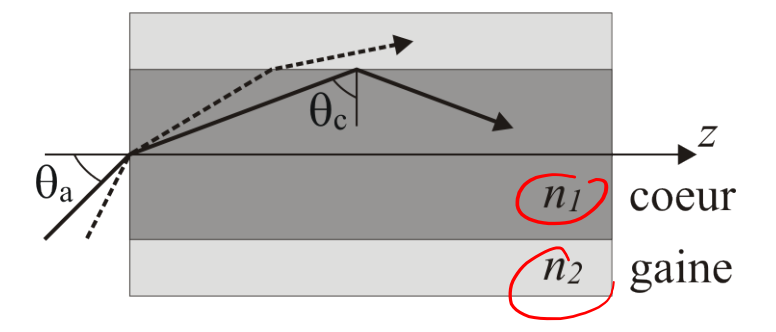
- Comme pour le guide diélectrique, propagation par réflexion totale interne
- Les ondes incidentes avec $\theta > \theta_a$ ne sont pas guides dans la fibre
- Angle d'acceptance:

$$\sin \theta_a = n_1 \cos \theta_c = n_1 \sqrt{1 - \sin^2 \theta_c} = \sqrt{n_1^2 - n_2^2}$$

- L'angle d'acceptance dépend du contraste diélectrique
- Ouverture numérique:

$$NA = sin\theta_a = \sqrt{n_1^2 - n_2^2}$$

Fibres à saut d'indice

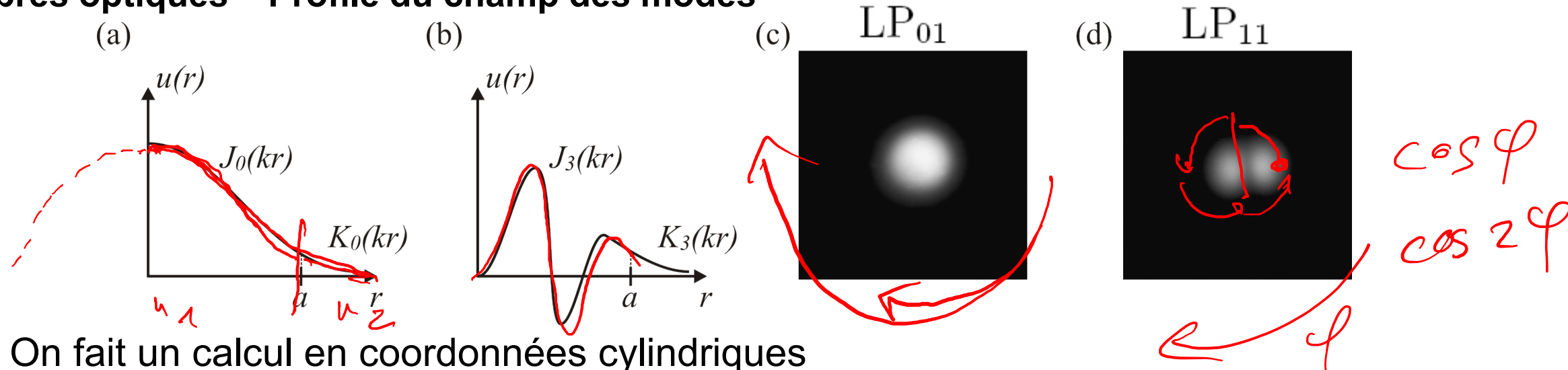


- Différence relative d'indice $\Delta = \frac{n_1^2 n_2^2}{2n_1^2} \cong \frac{n_1 n_2}{n_1} << 1$
- L'ouverture numérique devient $NA \simeq n_1 \sqrt{2\Delta}$
- Fréquence normalisée de la fibre (fibre parameter):

$$V = \frac{2\pi a}{\lambda_0} \mathrm{NA} = k_0 a \mathrm{NA}$$
 a: rayon du coeur

Permet de caractériser le nombre de modes de la fibre

Fibres optiques – Profile du champ des modes

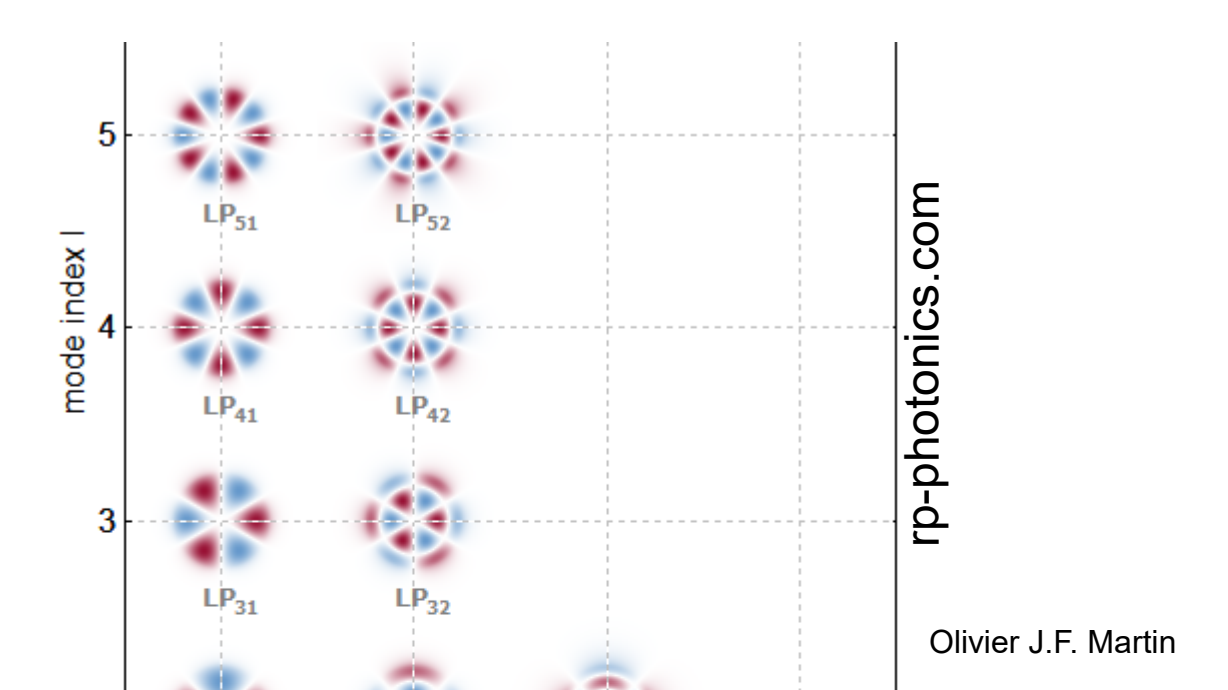


- Il n'existe pas de modes purement TE ou TM pour une fibre (→ petite composante longitudinale)
- Il existe des modes avec une dominante de polarisation linéaire (en anglais linearly polarized): LP_{lm}
- Paramètre l: ordre de la fonction azimutale
- Paramètre m: ordre de la fonction radiale
- Différentes espèces de fonctions de Bessel sont nécessaires pour la fonction radiale

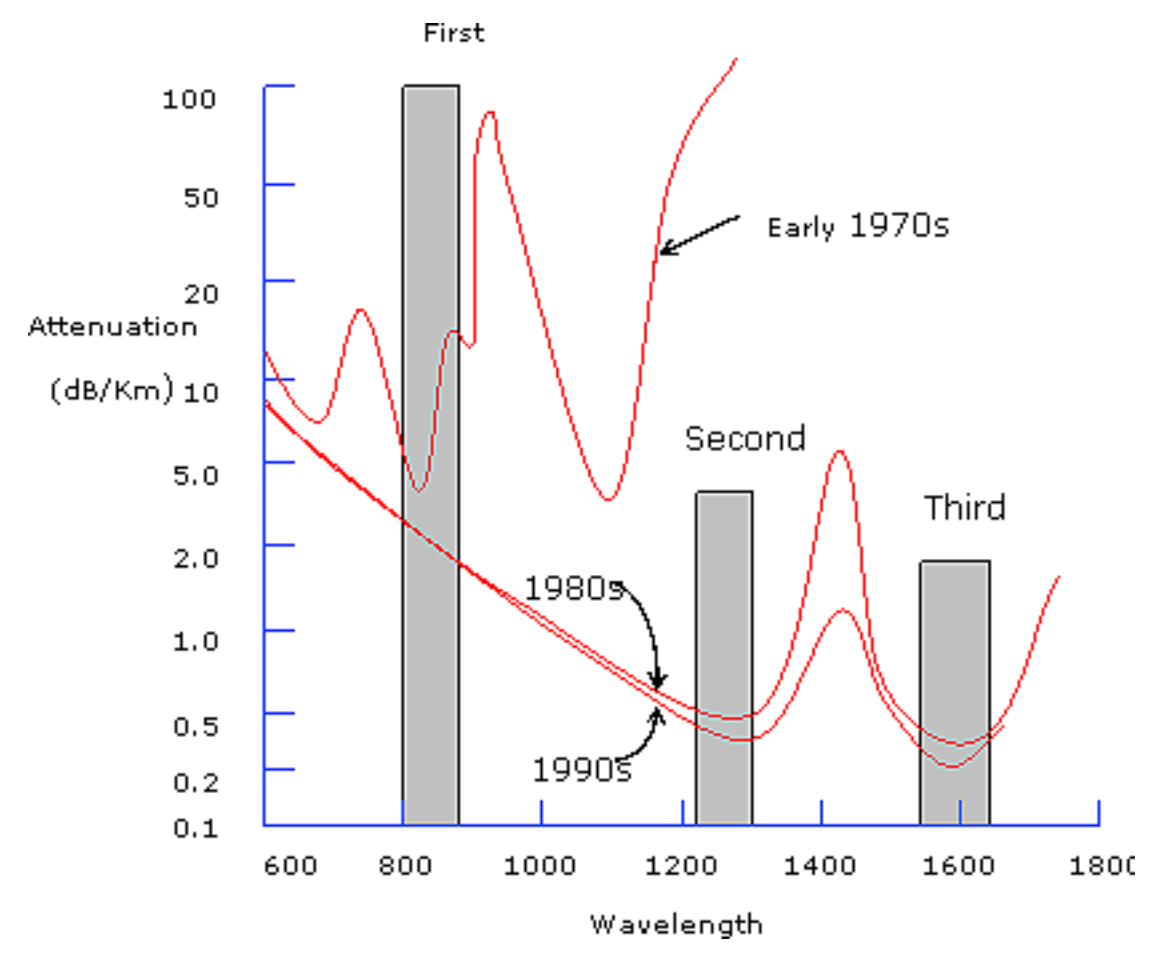
 Olivier J.F. Martin

Fibres optiques – Profile du champ des modes

- Modes LP_{lm}
 - Paramètre l: ordre de la fonction azimutale
 - Paramètre m: ordre de la fonction radiale



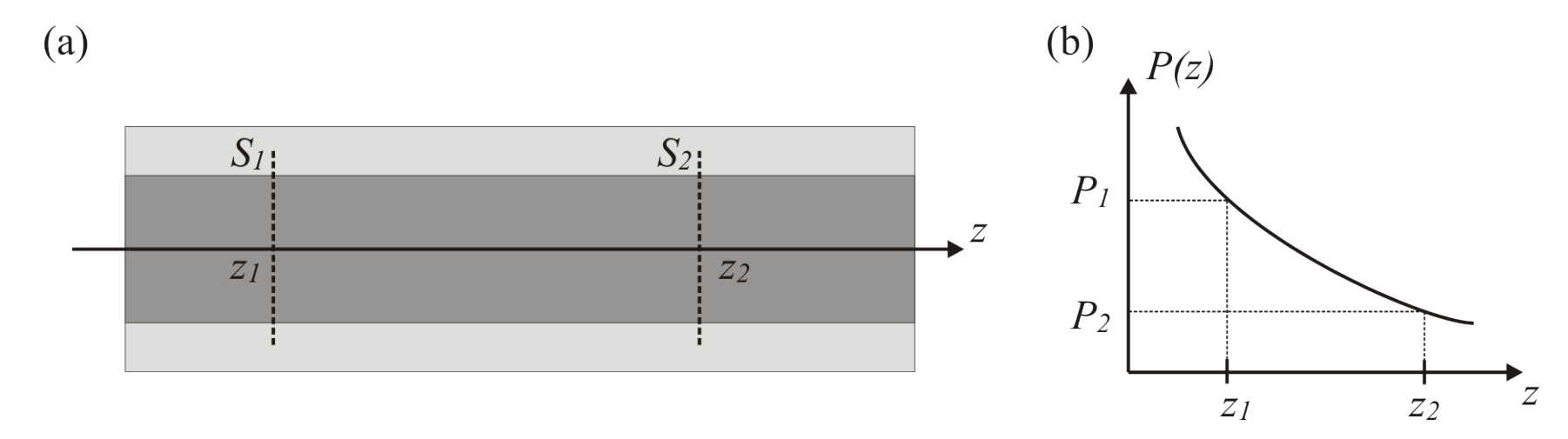
Atténuation dans les fibres optiques



Trois fenêtres de propagation:

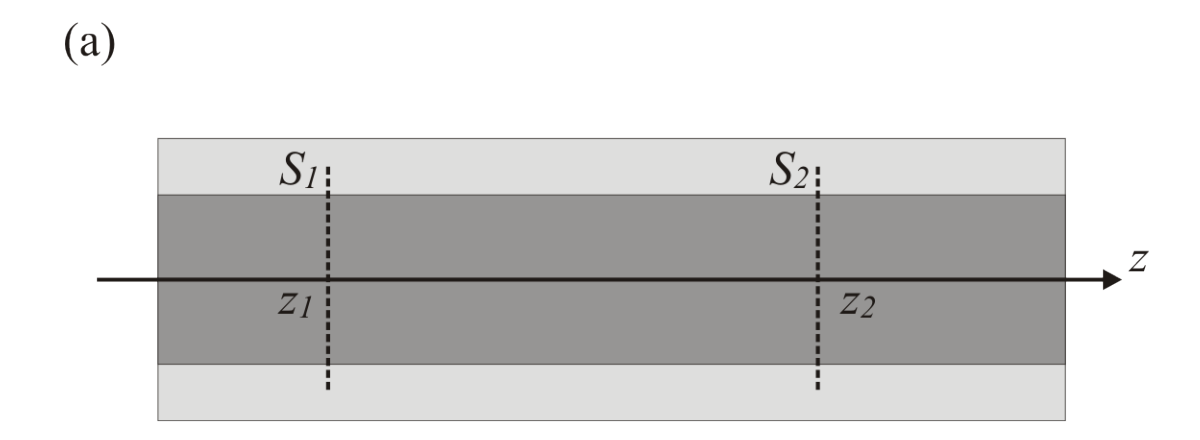
$$\lambda_0 \simeq 850 \, \text{nm}, \ 1.3 \, \mu \text{m} \ \text{et} \ 1.55 \, \mu \text{m}.$$

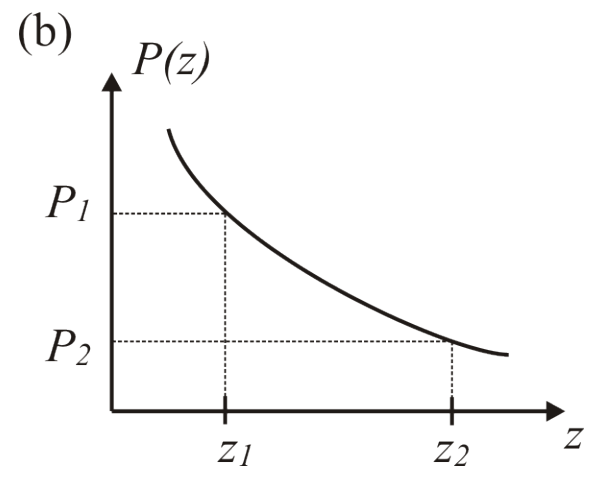
Atténuation dans les fibres optiques



- Décroissance exponentielle de la puissance optique avec la distance de propagation: $P_2 = P_1 e^{-\alpha(z_2-z_1)}$
- Coefficient d'atténuation: $\alpha = \frac{\ln(P_1/P_2)}{z_2 z_1}$
- En dB: $\alpha_{\rm dB} = \frac{10\log(P_1/P_2)}{z_2-z_1}\,; \qquad P_2 = P_1 10^{-\alpha_{\rm dB}(z_2-z_1)/10}$

Atténuation dans les fibres optiques





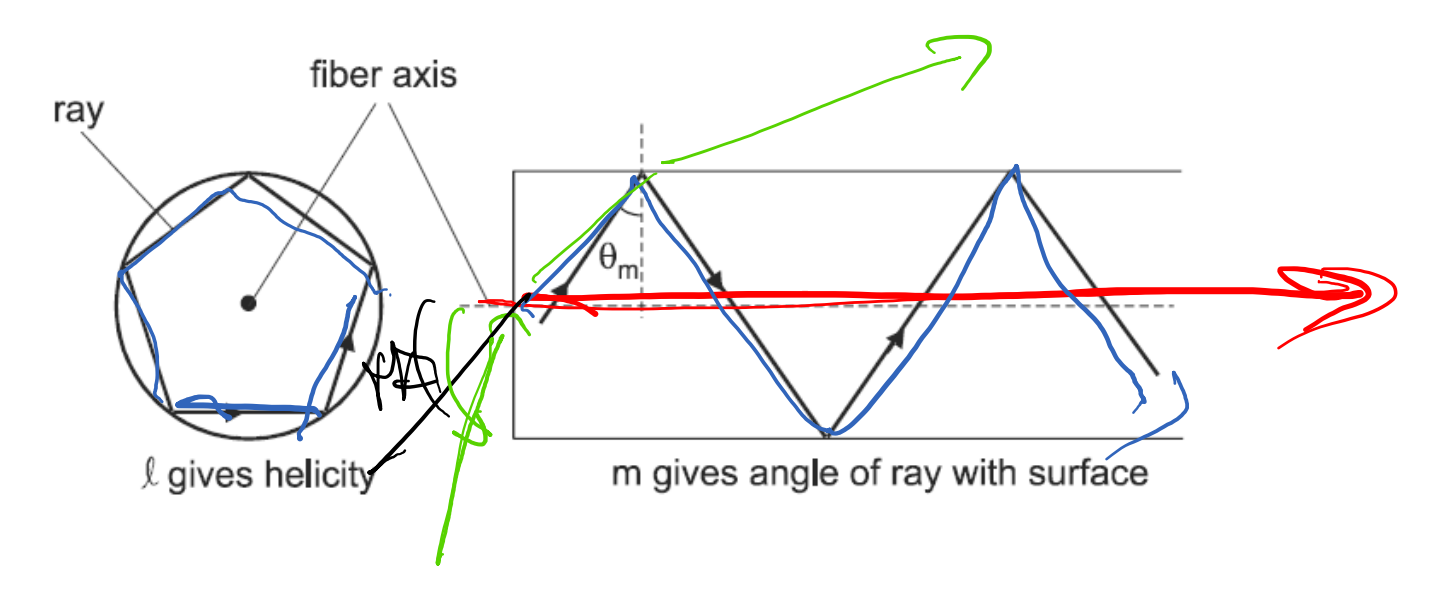
• Origine de l'atténuation:

– diffusion Rayleigh
$$\ \alpha = \frac{A_0}{\lambda_0^4}$$

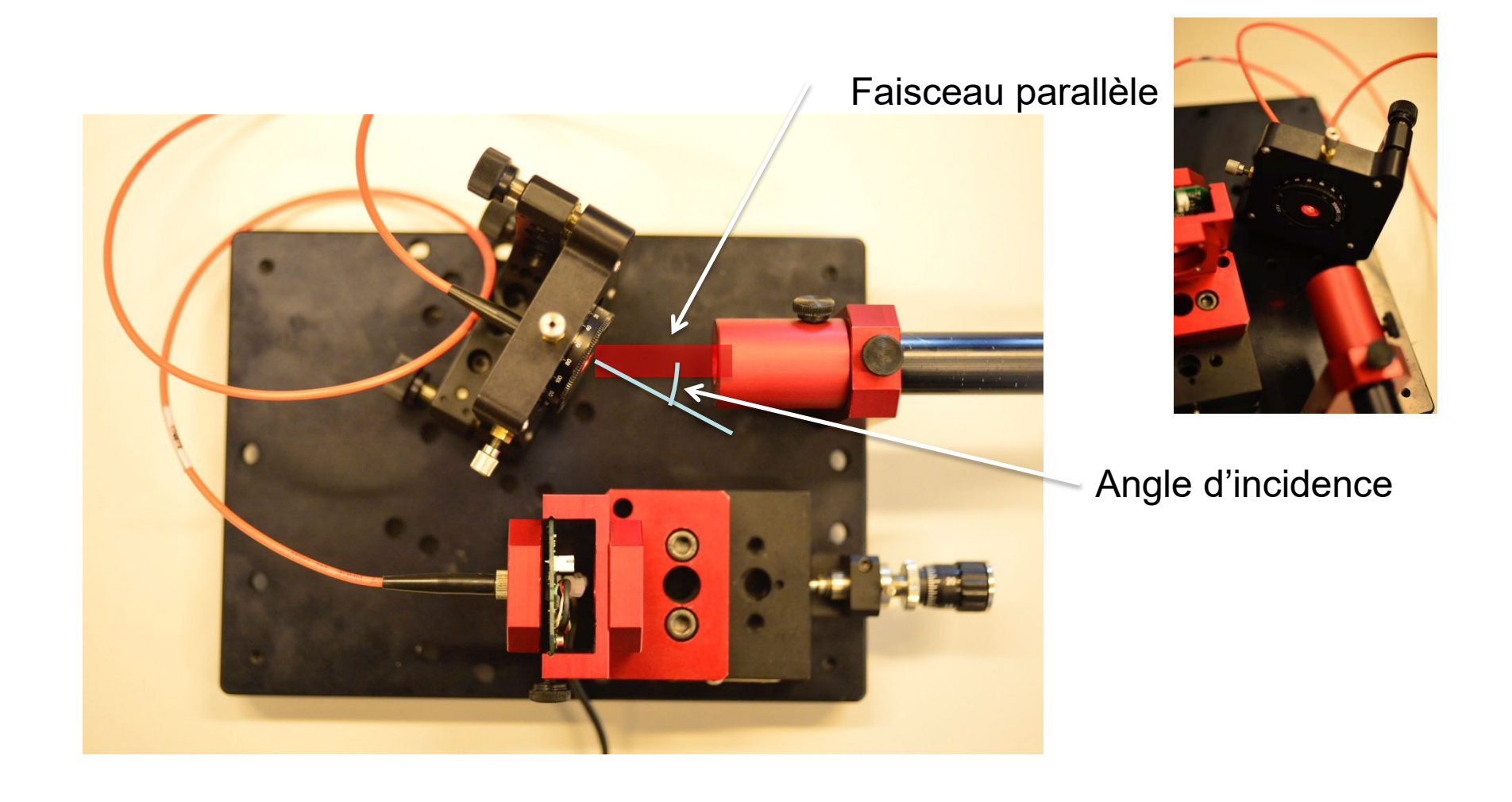
- Absorption par l'eau (liaisons $O-H^-$ et liaisons entre OH^- et SiO_2)
- Absorption par les métaux (quelques ppm suffisent!)
- Valeurs typiques de l'atténuation: 0.2-0.4 dB/km

Propagation des rayons dans une fibre multimode

- Si un faisceau collimaté est envoyé de biais dans une fibre multimode, ce faisceau se propage en faisant une «hélice» dans la périphérie de la fibre
- A la sortie de la fibre, on voit un cône de lumière dont le rayon est déterminé par l'angle d'incidence du faisceau
- En variant cet angle d'incidence, on peut mesurer l'ouverture numérique NA de la fibre

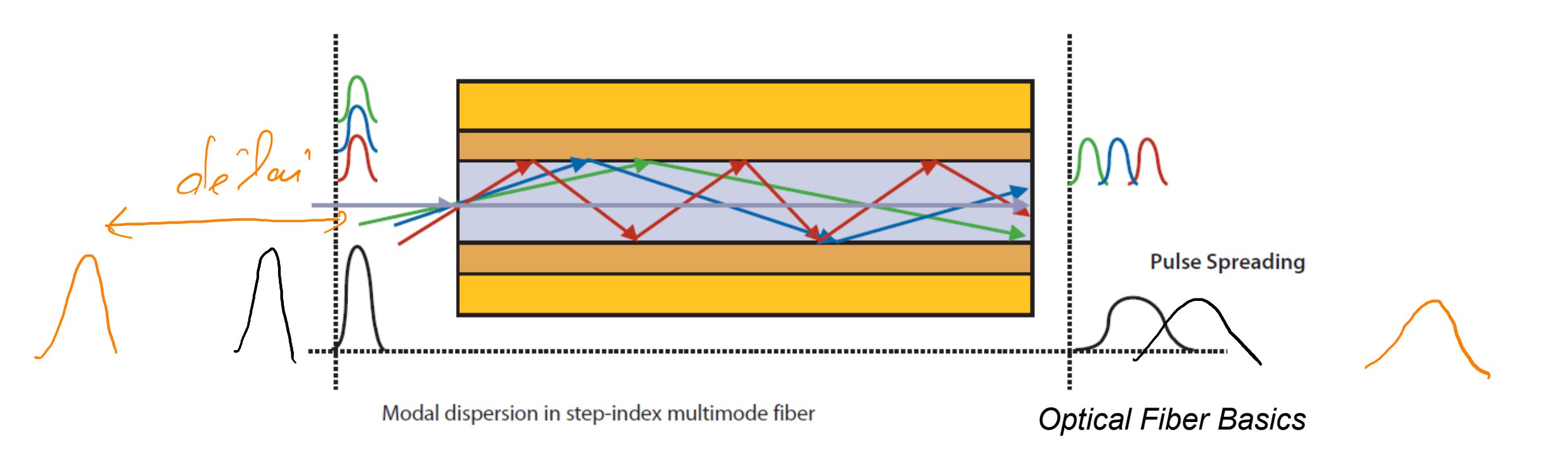


Propagation des rayons dans une fibre multimode

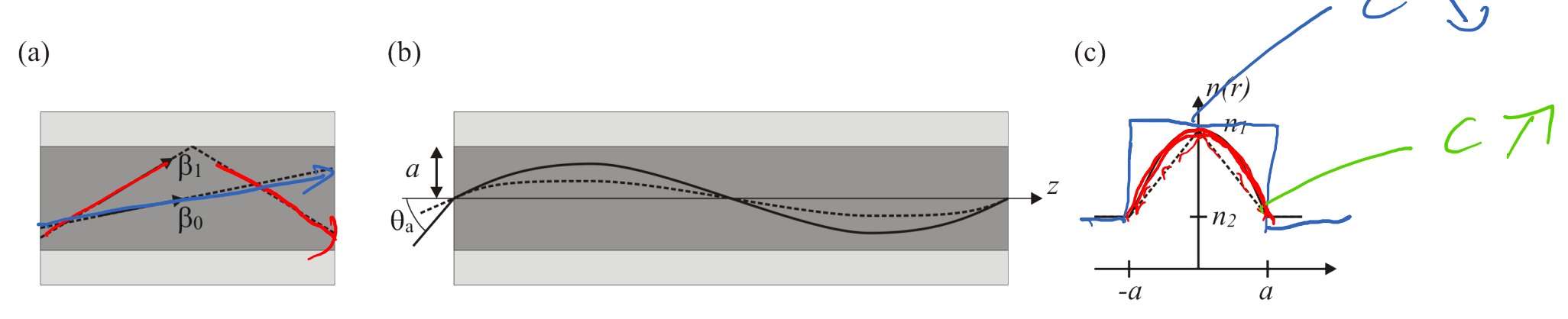


Dispersion

- Le mode fondamental se propage le plus vite dans le guide (zig-zague moins)
- Les modes plus élevés font beaucoup de zig-zags



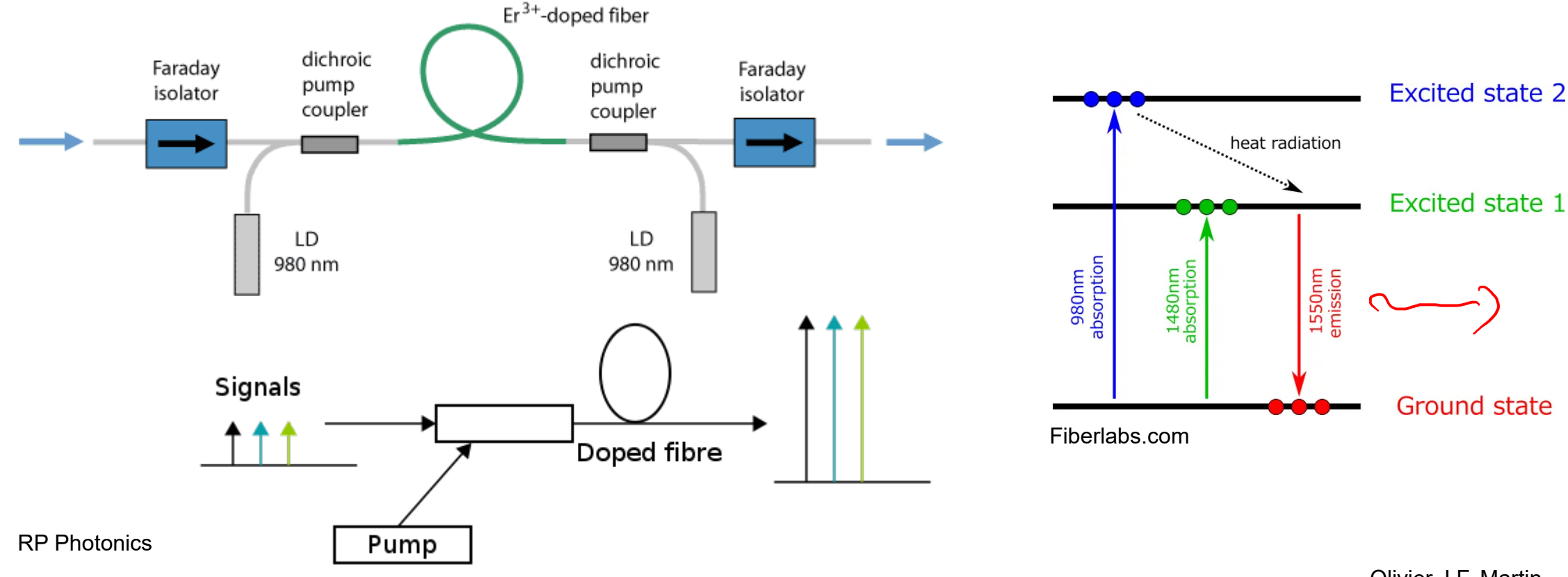
Fibre à profile d'indice



- Dans une fibre à saut d'indice les modes d'ordre élevé prennent plus de temps à se propager car leur chemin est plus long
- Une fibre à profile d'indice permet de compenser cette différence de temps avec une vitesse plus rapide des modes d'ordre élevé (en fait, une vitesse plus lente pour les modes d'ordre bas $c_1=c_0/n_1$).
- Le rayon ne se propage plus en zig-zag mais en courbe: les modes élevés se propagent vers la périphérie de la fibre, le mode fondamental vers le centre de la fibre
- Différent profiles d'indice existent: triangulaire, parabolique, ...

Compenser absorption et dispersion

- Comme on ne peut pas éliminer l'absorption et la dispersion, il faut les compenser
- On utilise un amplificateur avec des fibres optiques dopées à Er^{3+} et pompées avec un laser (λ =980 nm) qui a plus d'énergie que le signal optique (λ =1'550 nm)
- On place un tel amplificateur tous les ~80 km sur un réseau optique

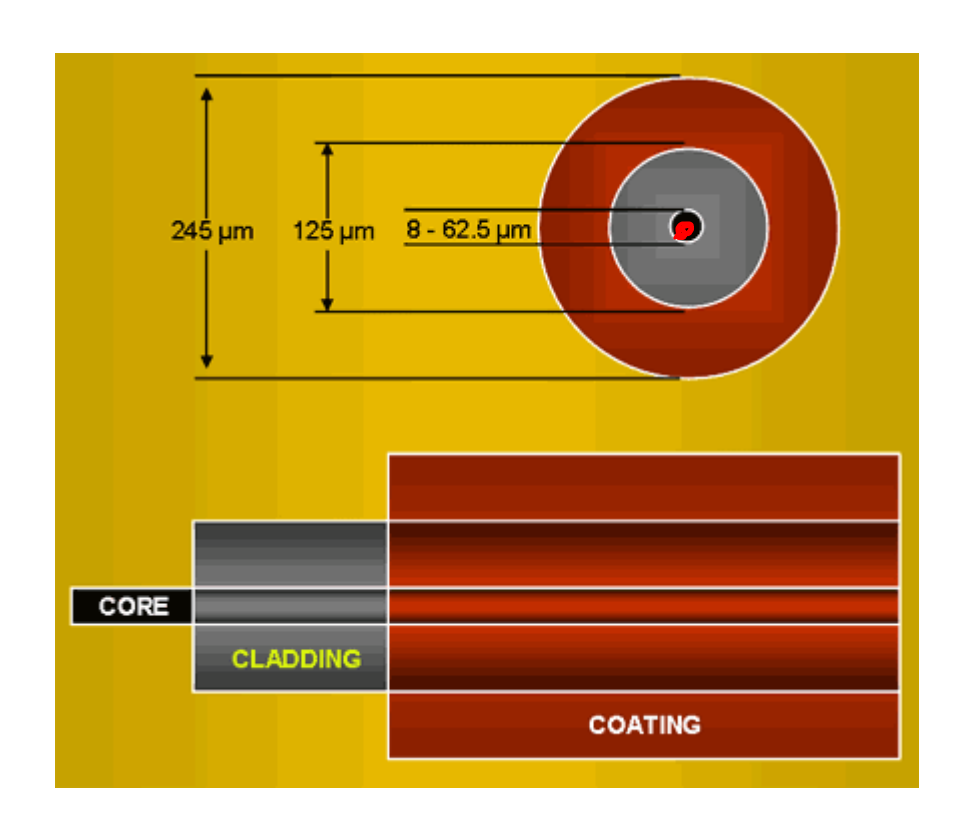


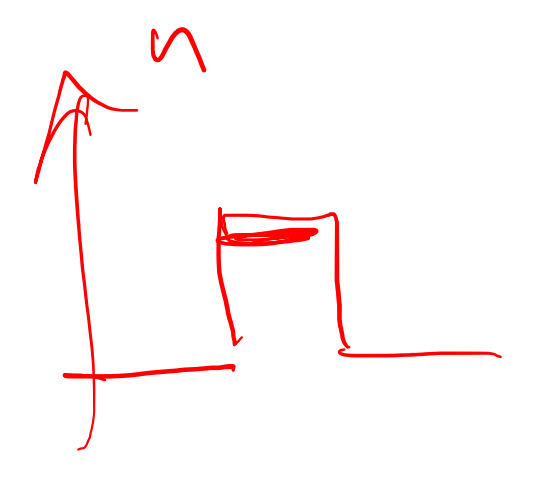
Ingénierie optique

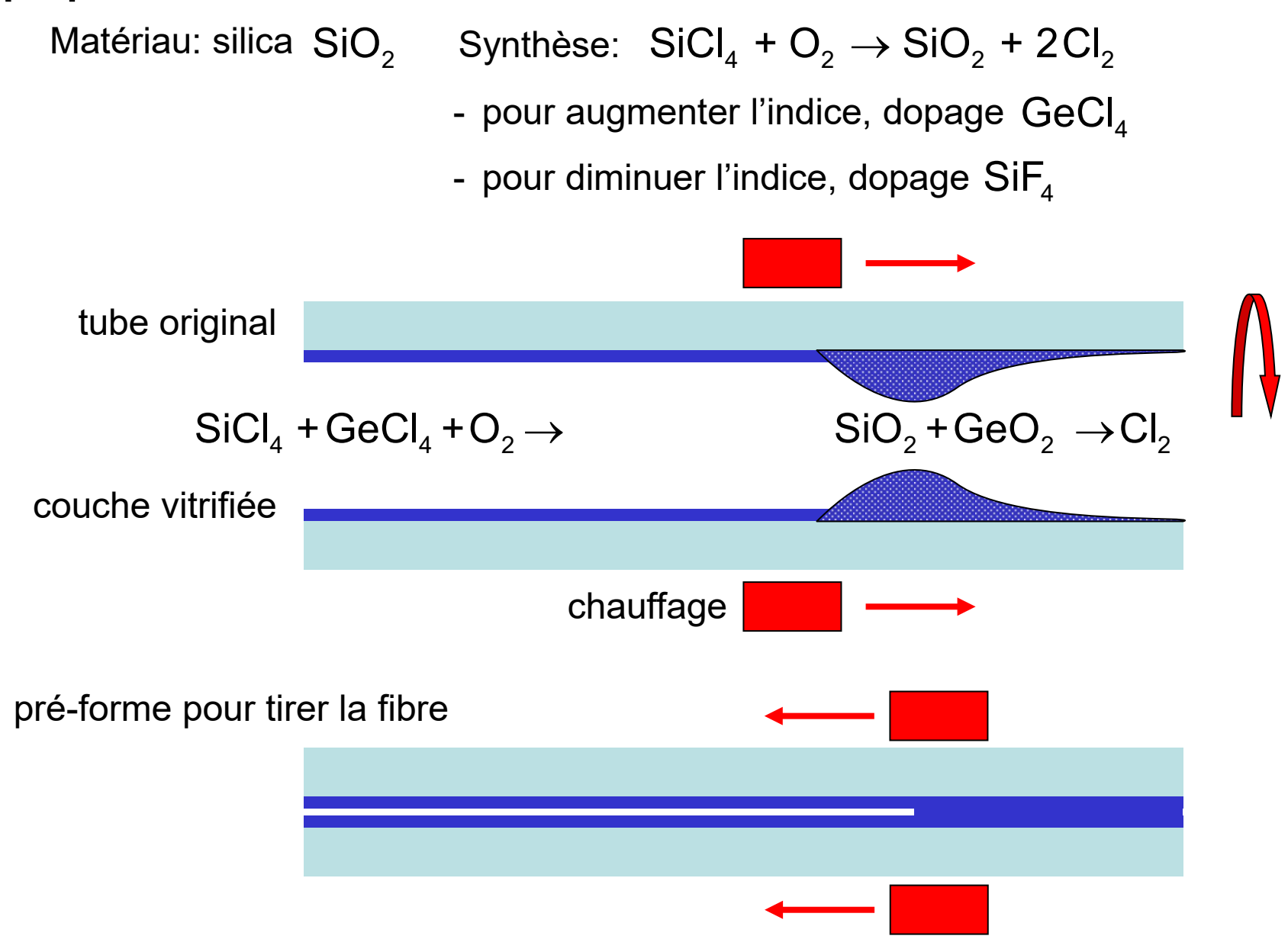
Semaine 9 – partie 3

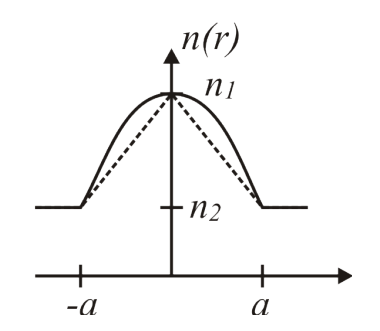


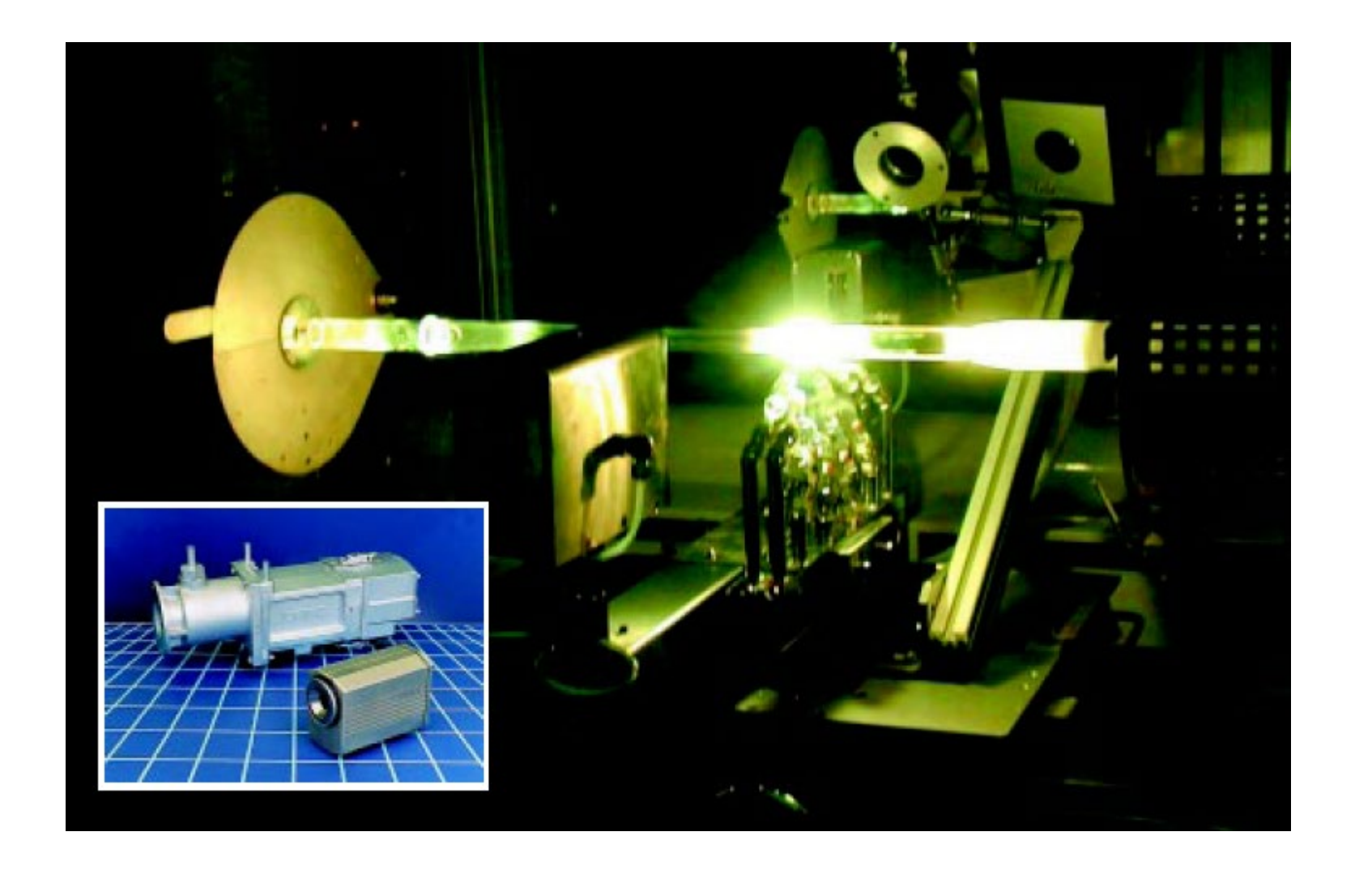








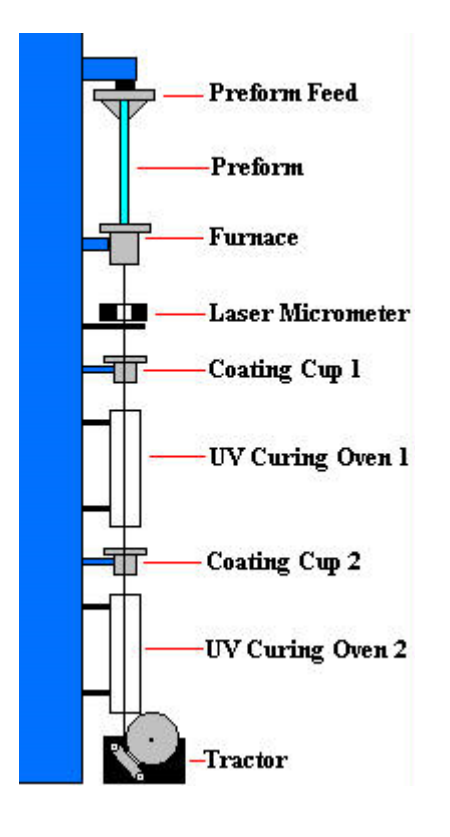






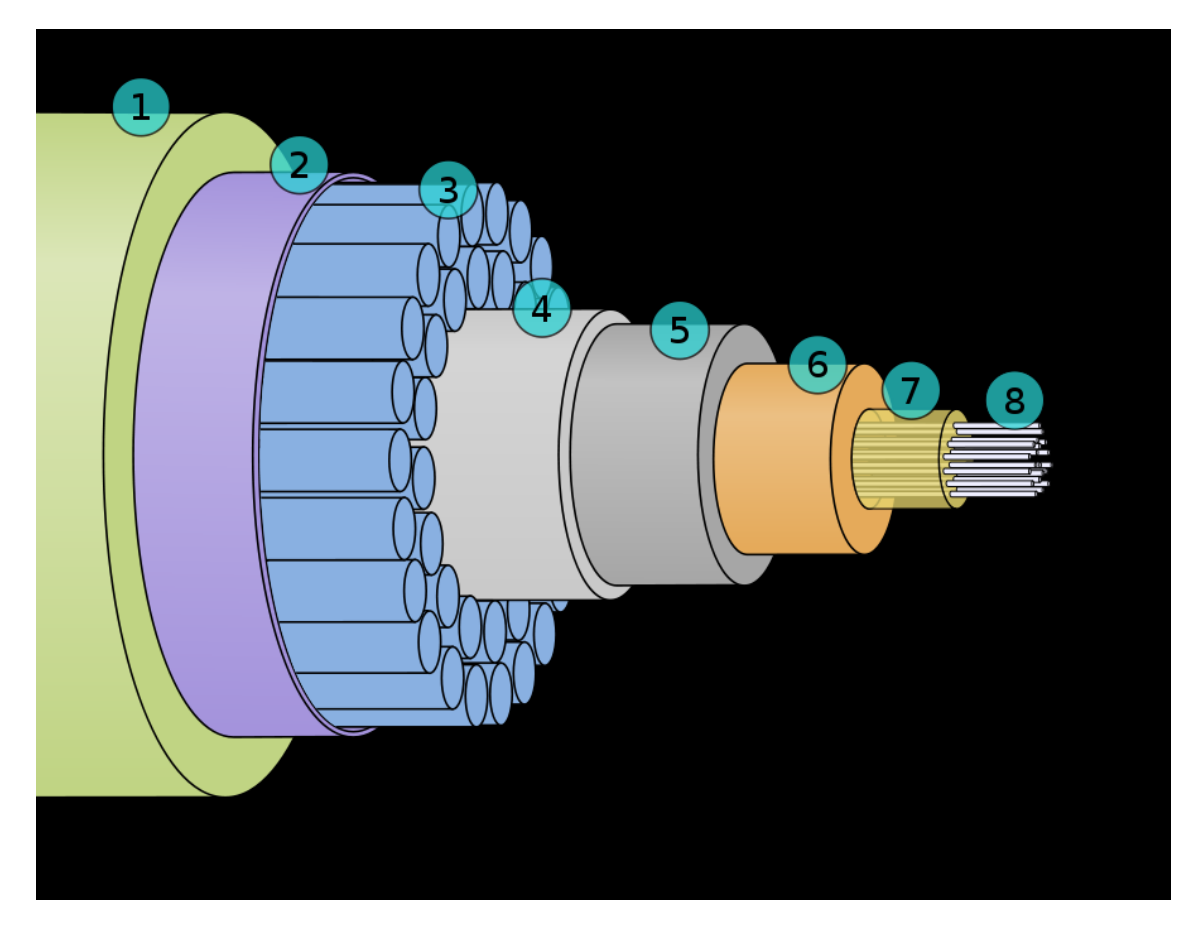


Drawing tower:









- 1 Polyethylene
- 2 Mylar tape
- 3 Stranded steel wires
- 4 Aluminium water barrier
- 5 Polycarbonate
- 6 Copper or aluminium tube
- 7 Petroleum jelly
- 8 Optical fibers

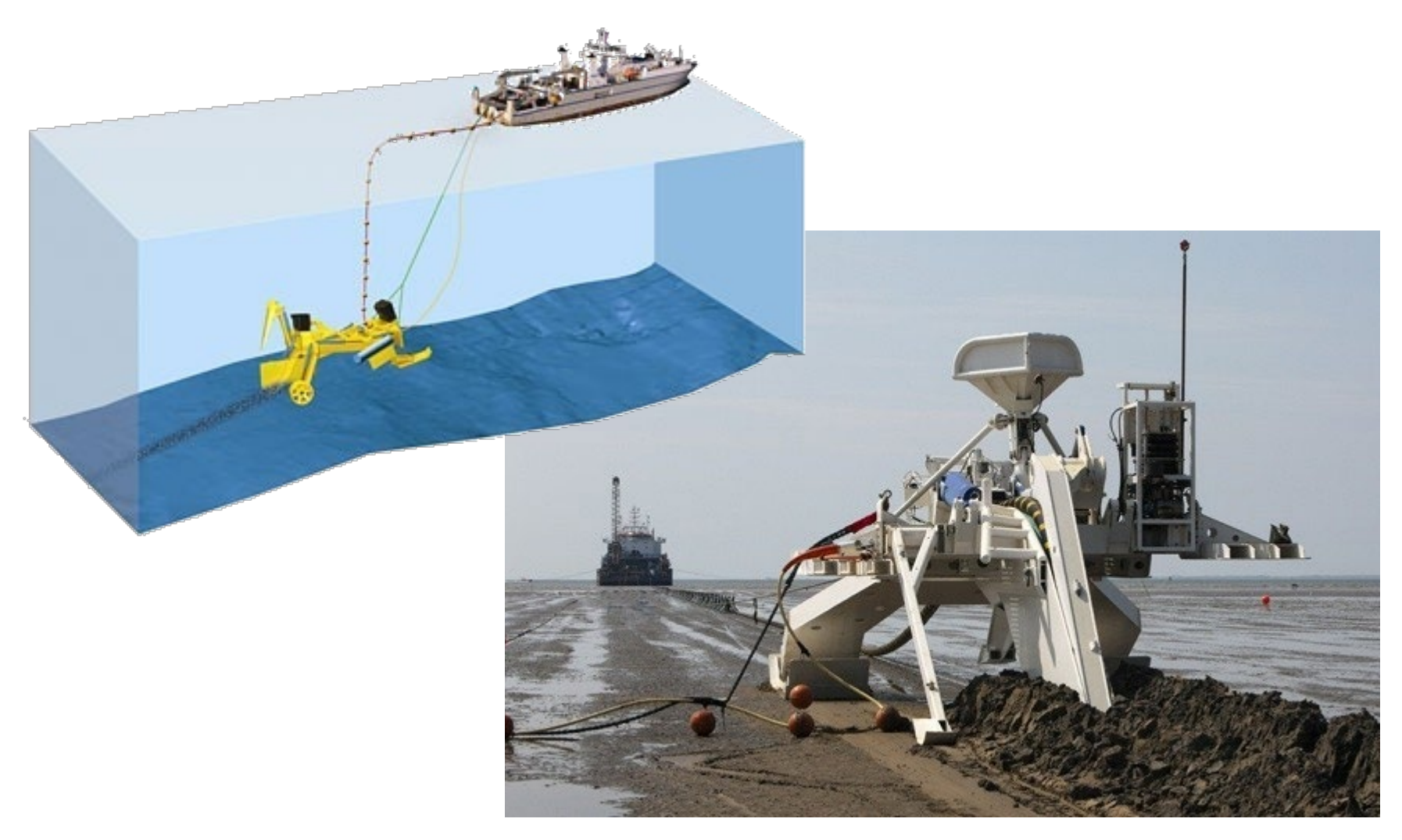


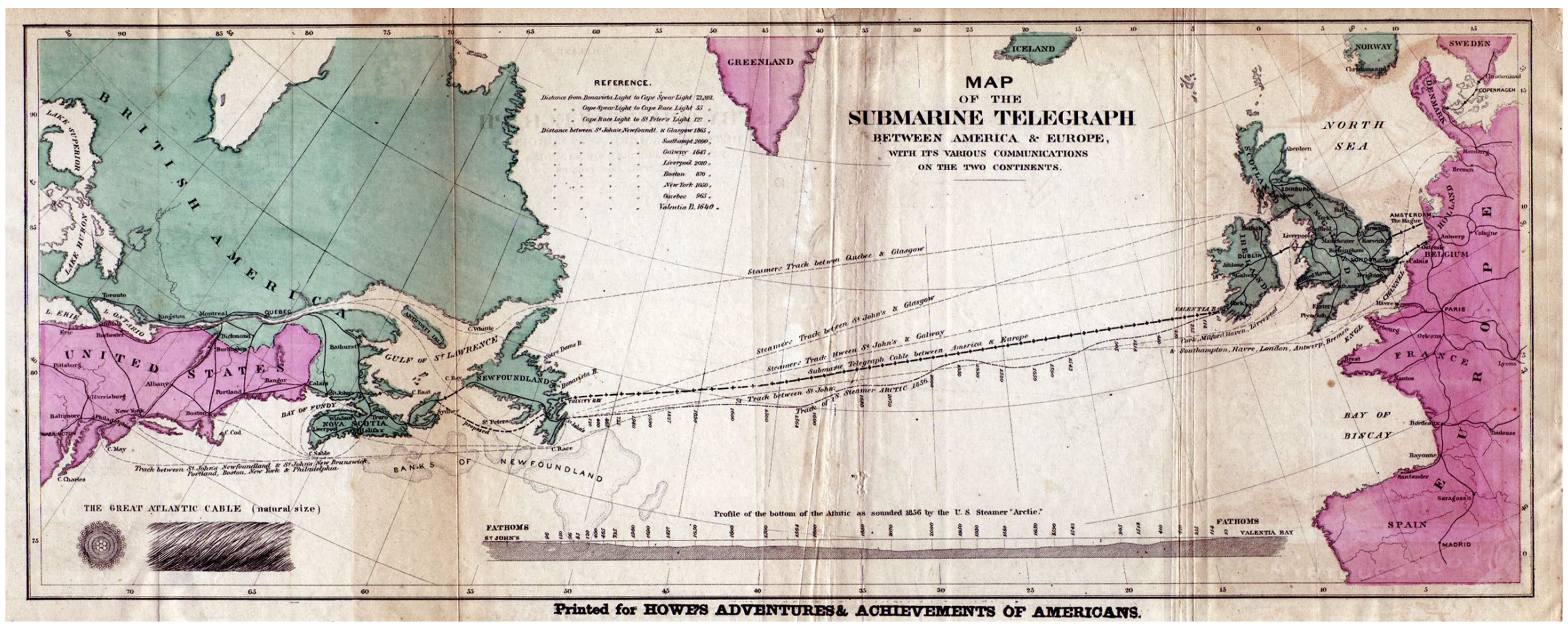
Navire câblier



Pose d'un cable sur le fond marin

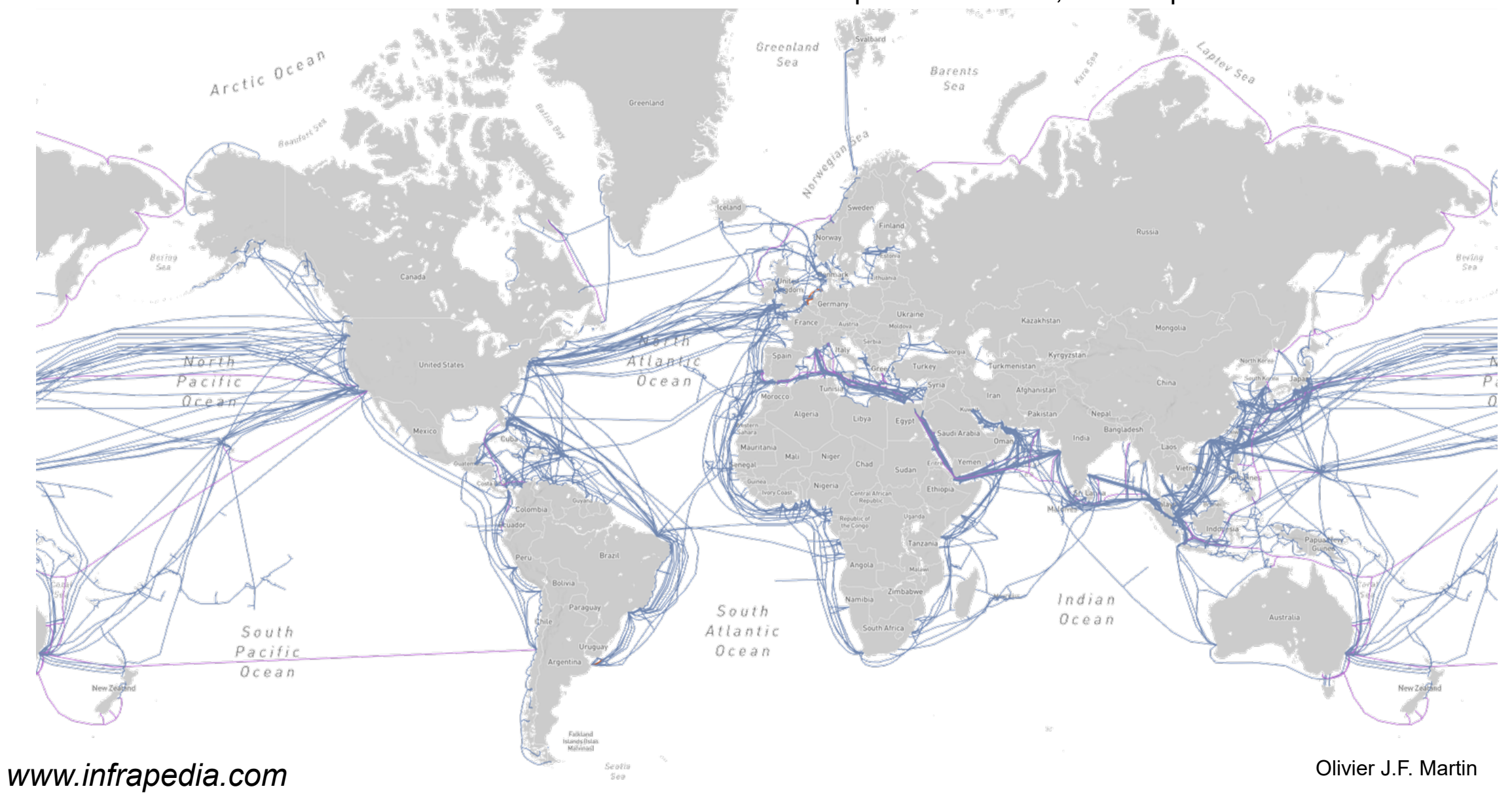
Le câble est enterré avec une "charrue"





1858 wikipedia

• Seul 1% des télécommunications intercontinentales sont fournies par les satellites, le reste par des câbles sous-marins



Septembre 2017 Microsoft & Facebook ont terminé de poser le câble Marea: 6'600 km, 160 Tbit/sec (Virginia beach/Bilbao)



- Septembre 2022 Google a inauguré le câble Grace Hopper: 6'000 km, 352 Tbit/s (New-York/UK & Spain)
- Octobre 2023, Facebook, Microsoft, Vodaphone, câble Amitié: 6'600 km, 320 Tbit/s (Lynn USA/Bude UK/Le Porge France)

Couplage dans une fibre

En plus de l'angle d'incidence, l'alignement est très important



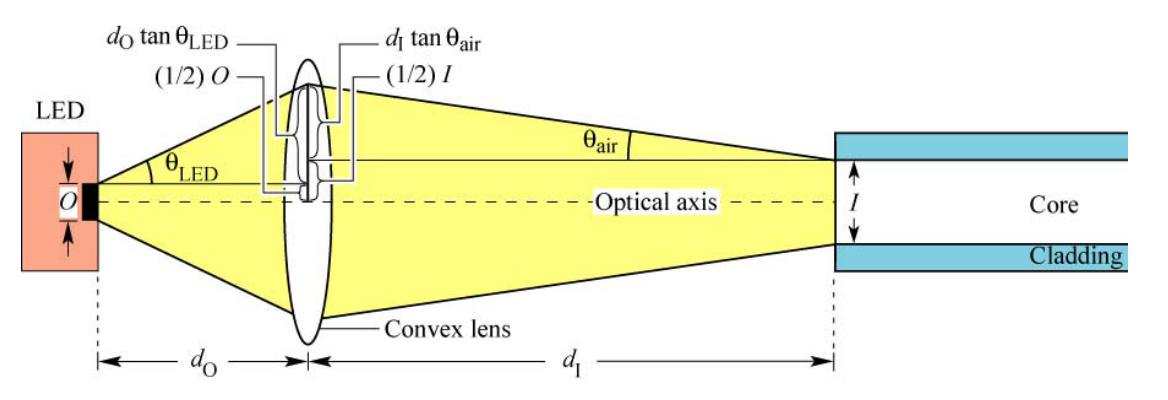
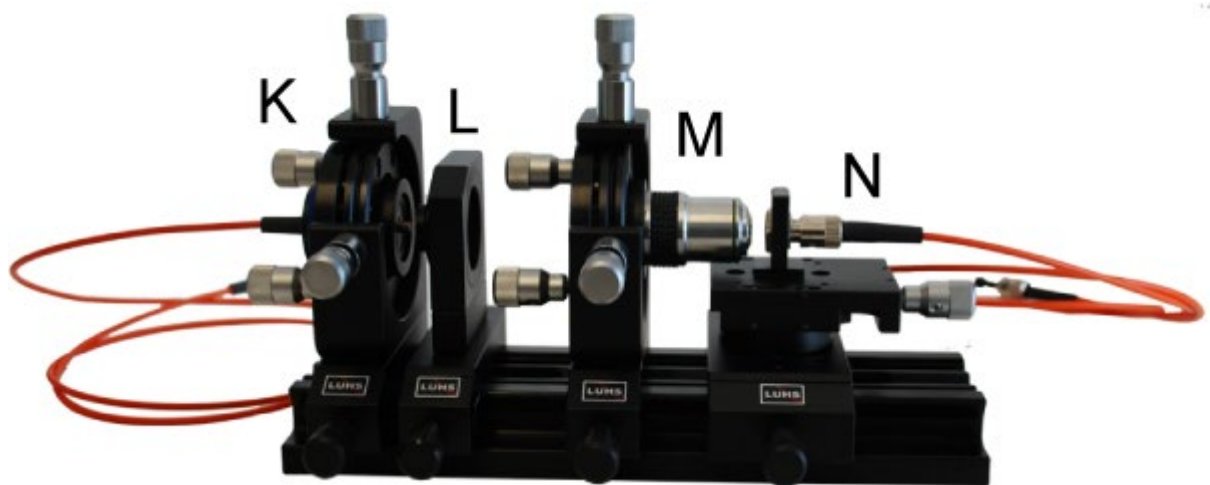


Fig. 22.7. Schematic illustration of coupling with a lens by imaging the light-emitting region of an LED onto the core of an optical fiber. The LED has a circular emission region with diameter O (Object). The emission region is imaged onto the fiber core with diameter I (Image) using a convex lens with focal length f.

Light-Emitting Diodes (Cambridge Univ. Press)
www.LightEmittingDiodes.org



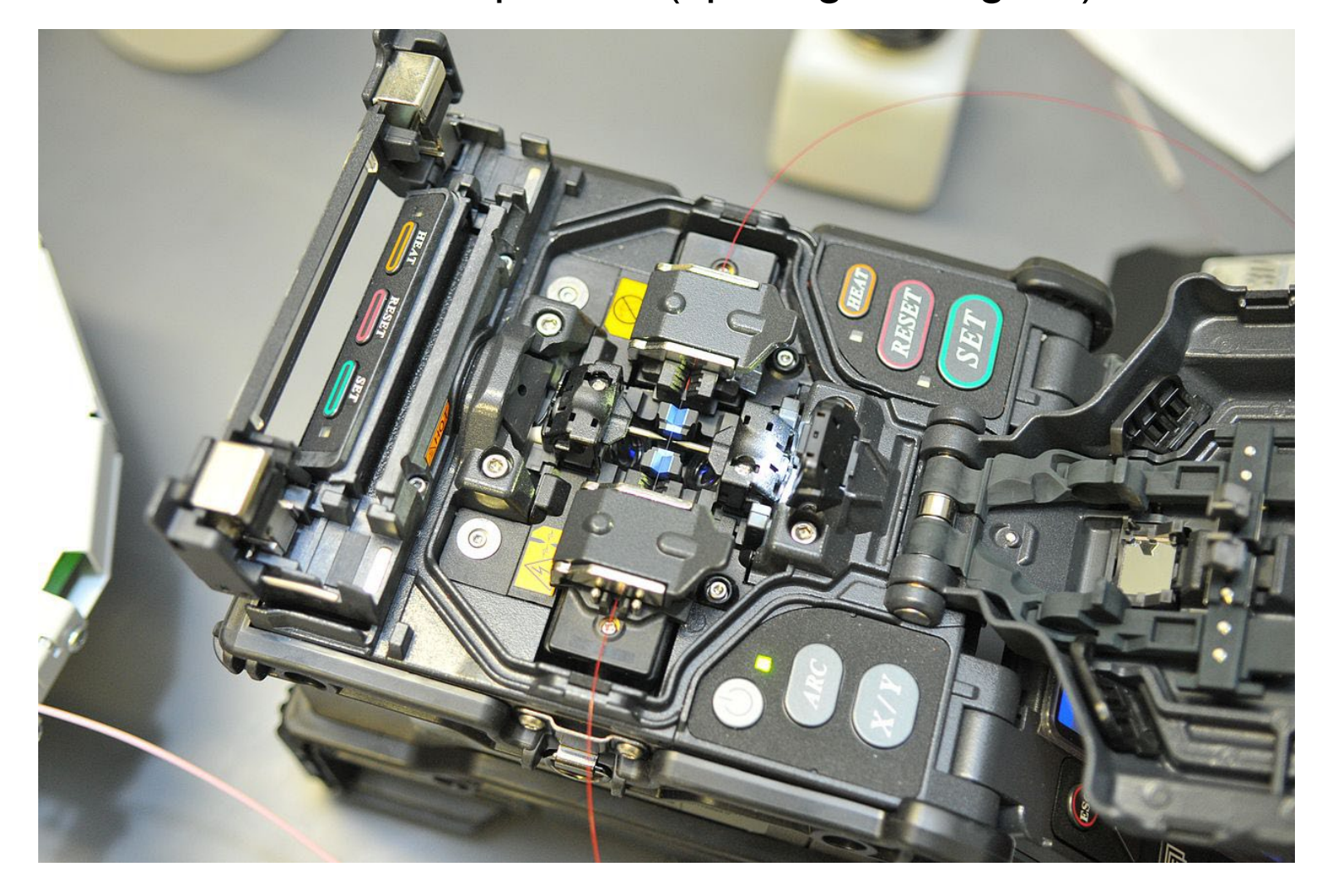
Couplage dans une fibre

- Un bon "contact" optique est bien plus difficile à obtenir qu'un contact électrique
- Différents types de connecteurs existent
- En général 0.3 dB de perte/connecteur



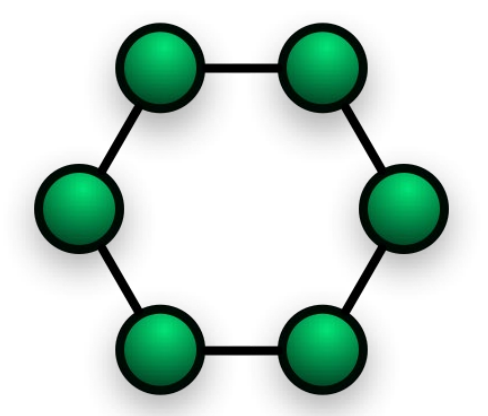
Fibre splicing

 La meilleure connexion est obtenue en fondant les deux fibres que l'on souhaite relier entre-elles en faisant une épissure (splicing en anglais)

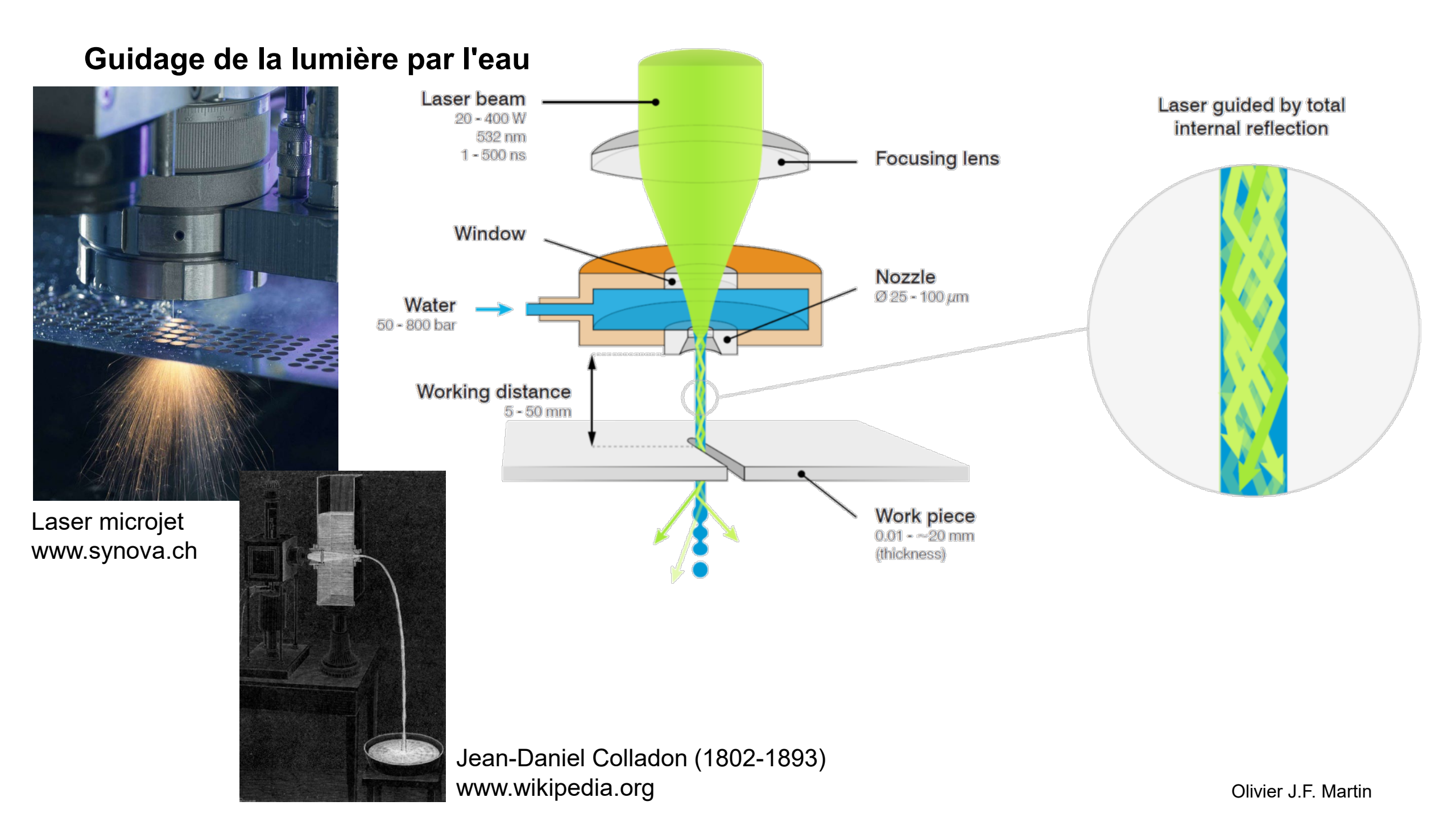


Plastic optical fibres (POF)

- Utilisées dans l'industrie automobile dès la fin des années 1990
- Fibre à saut d'indice, généralement en polymethylmethacrylate (PMMA), avec un coeur de 1mm et NA=0.5
- Pertes: 180 dB/km (λ_0 =650 nm), 110 dB/km (λ_0 =520 nm) (~0.3 dB/km pour une fibre en verre monomode!)
- Le très grand nombre de modes (plusieurs millions!) limite la bande passante à 400 MHz pour une distance de propagation de ~100 m
- MOST (Media Oriented Systems Transport), ring bus utilisé dans la plupart des automobiles
- Très bonne compatibilité électromagnétique







Ingénierie optique

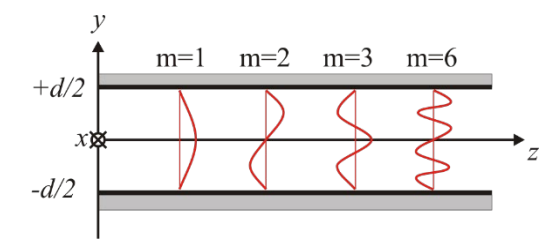
Semaine 9 – partie 4



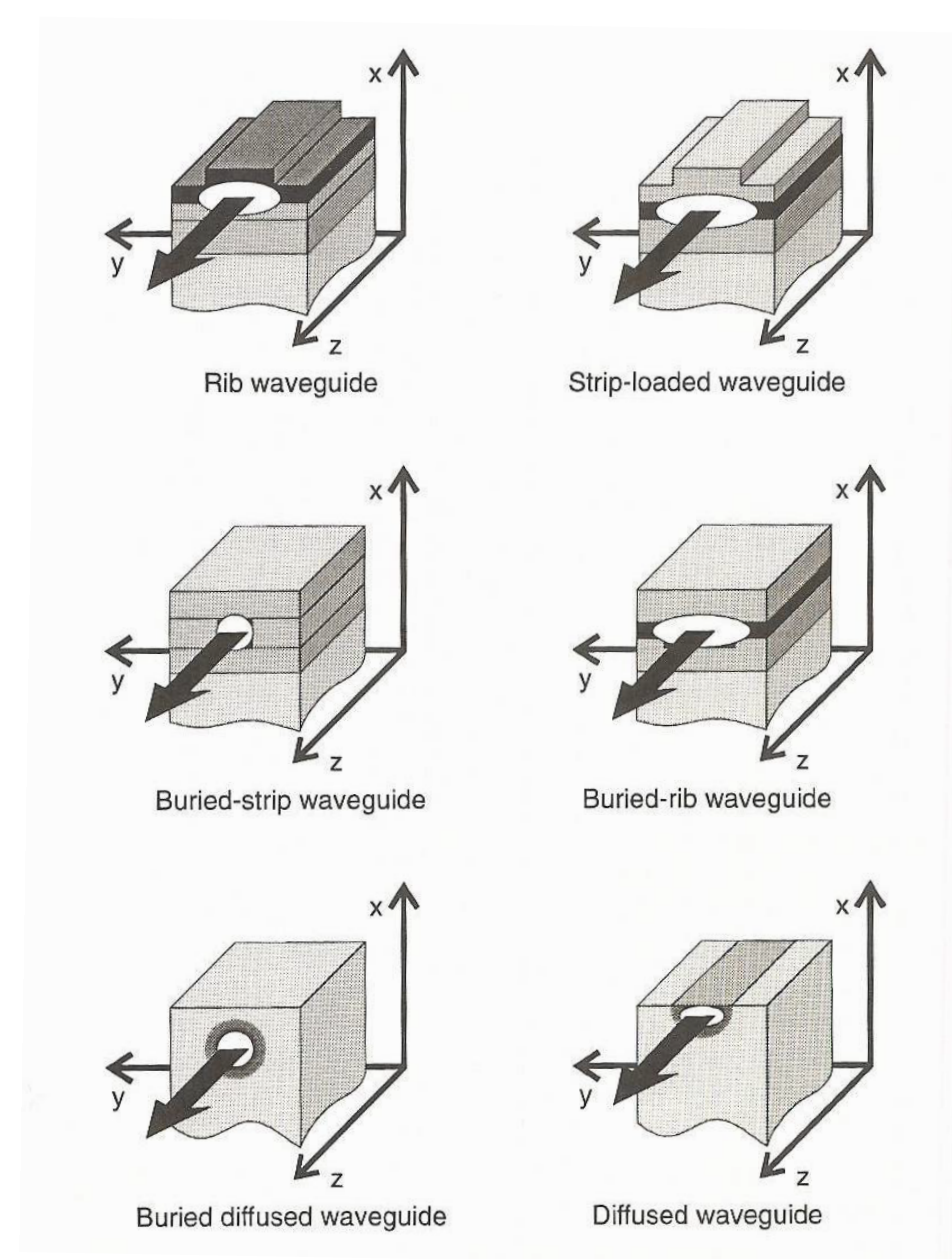


Guides diélectriques 2D

 Jusqu'à présent, nous avons considéré des guides qui ne confinent la lumière que dans une seule direction (guide 1D):



- Pour un guide 2D, le principe est toujours le même: on crée un région d'indice élevé, dans laquelle la lumière est guidée
- Des géométries variées existent qui permettent un confinement de la lumière dans les deux directions transverses et sa propagation dans la troisième direction



and technology (3rd Ed. Springer,

R.G. Hunsperger, Integrated optics: theory

Guides diélectriques 2D

 En variant la trajectoire de guides diélectriques 2D on peut réaliser les différents composants requis pour l'optique intégrée

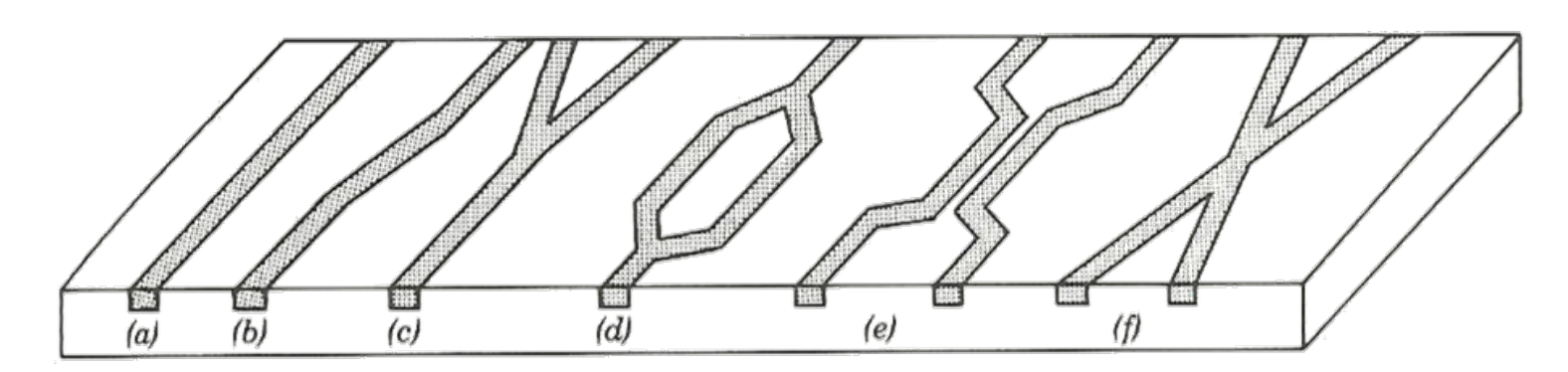


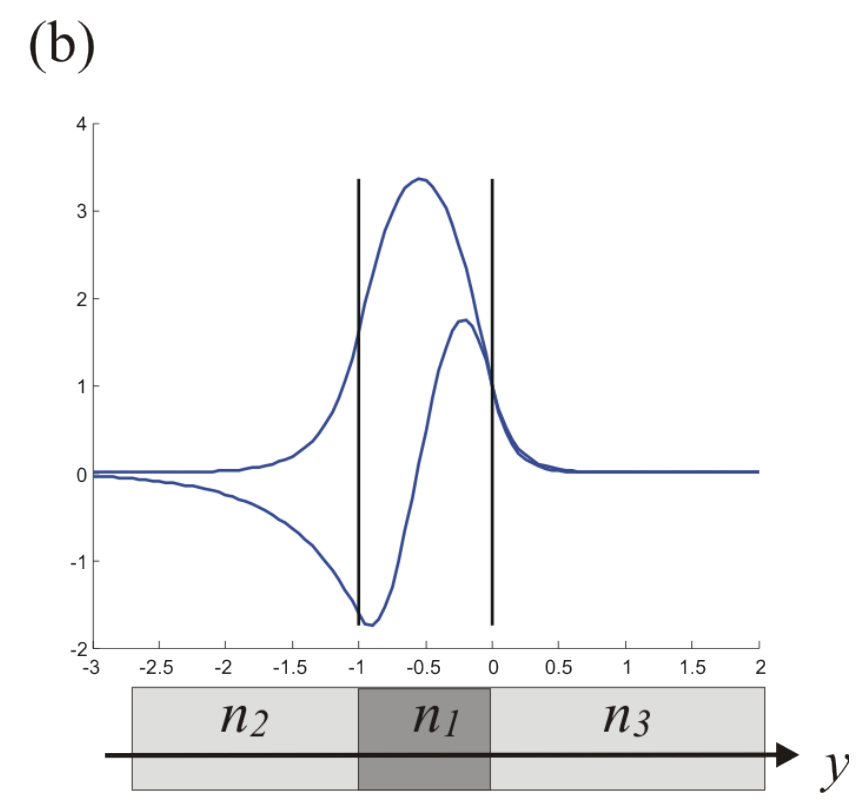
Figure 7.3-4 Different configurations for waveguides: (a) straight; (b) S bend; (c) Y branch; (d) Mach-Zehnder; (e) directional coupler; (f) intersection.

R.G. Hunsperger, <u>Integrated optics: theory and technology</u> (3rd Ed. Springer, 1991)

Interrupteur optique

 Contrairement au courant électrique, il n'existe pas d'interrupteur permettant de rediriger la lumière d'un guide d'onde à l'autre

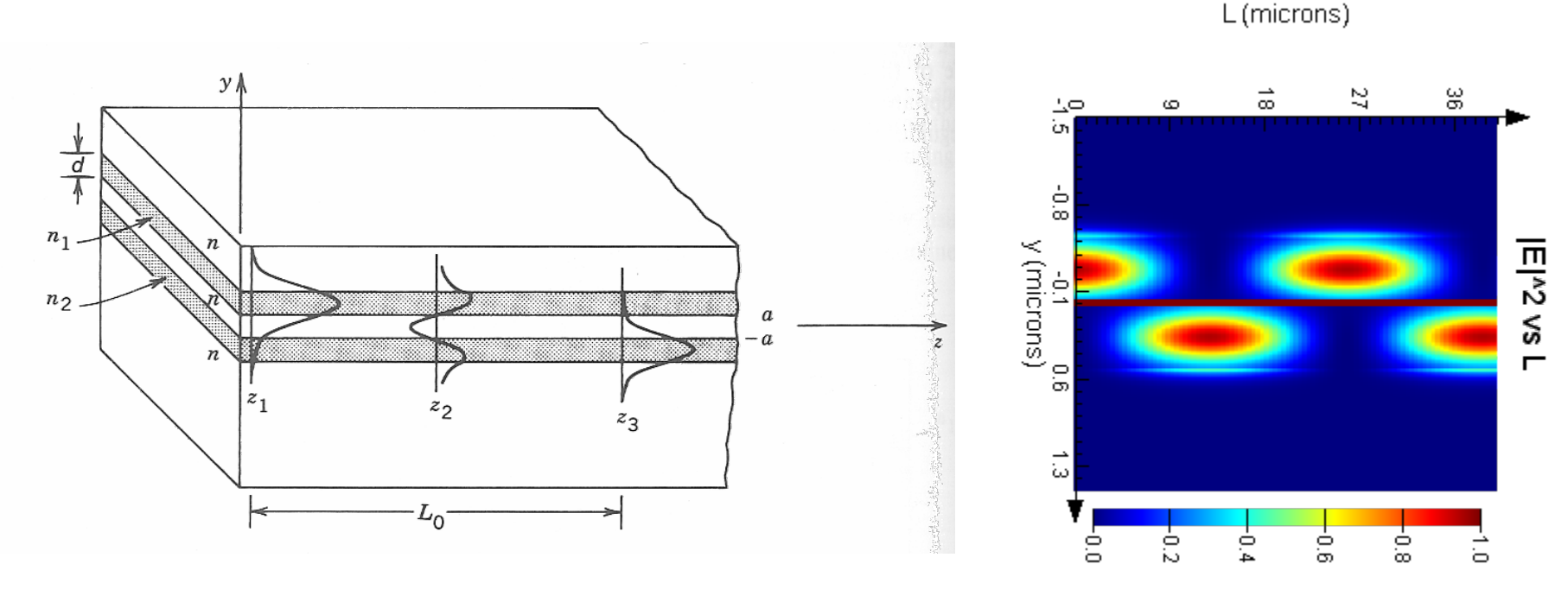




 Comme le champ électrique déborde du guide, deux guides placés à proximité l'un de l'autre se couplent → phénomène de battement

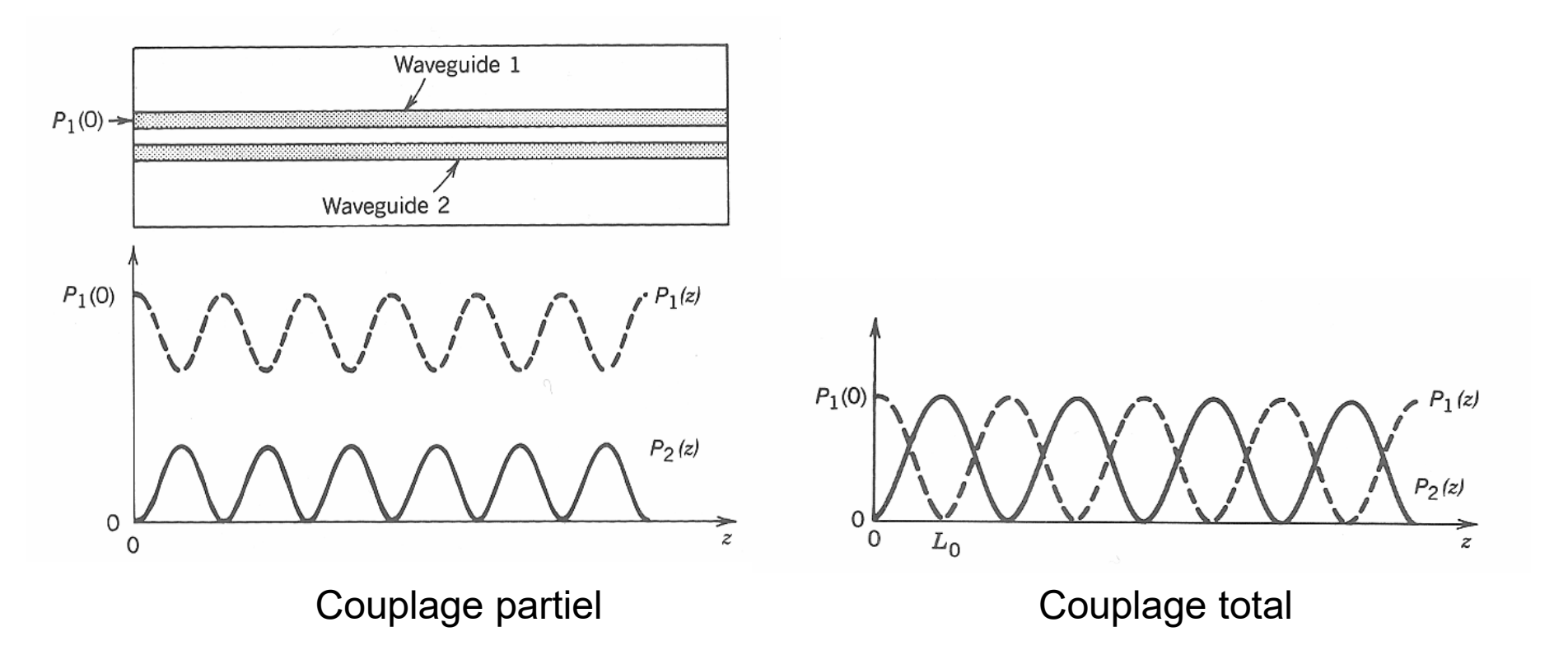
Couplage entre des guides parallèles

- Comme les modes s'étendent au-delà du cœur du guide, le mode peut se coupler dans un guide voisin
- L'énergie est transférée peu à peu d'un guide à l'autre et vice-versa; la longueur du transfert peut être de quelques dizaines de λ et dépend du couplage entre les guides



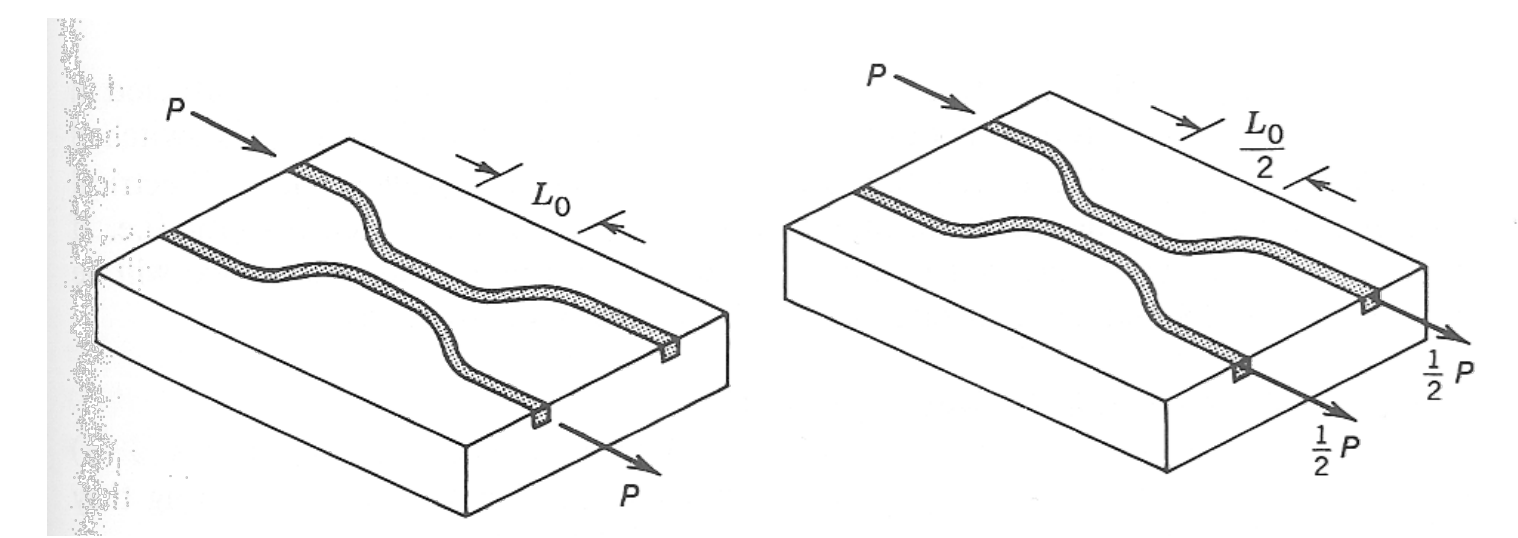
Couplage entre des guides parallèles

 Cette technique est utilisée pour créer des diviseurs de puissance, ou pour commuter la lumière d'un guide à l'autre

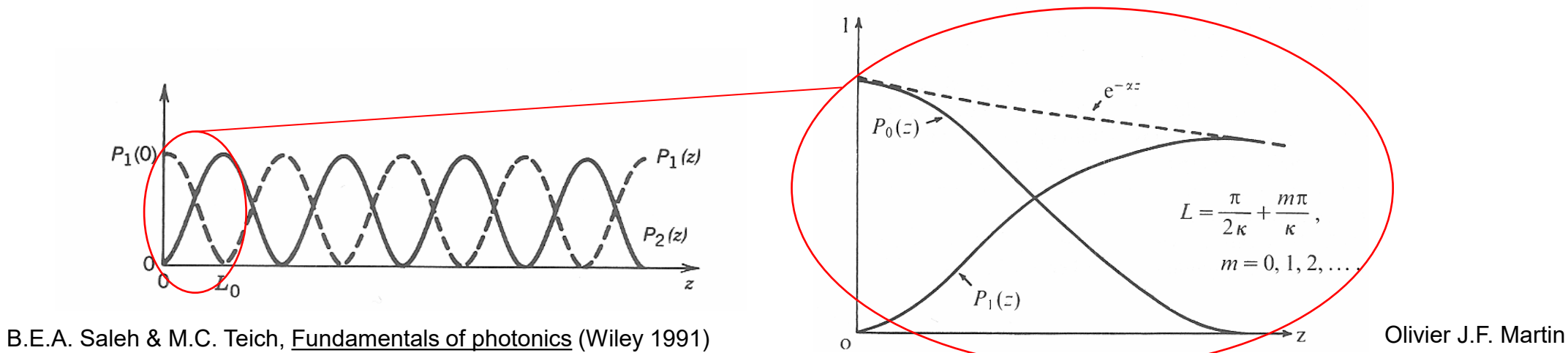


Couplage entre des guides parallèles

• En ajustant la longueur d'interaction, on peut coupler tout ou partie de l'énergie d'un guide dans l'autre

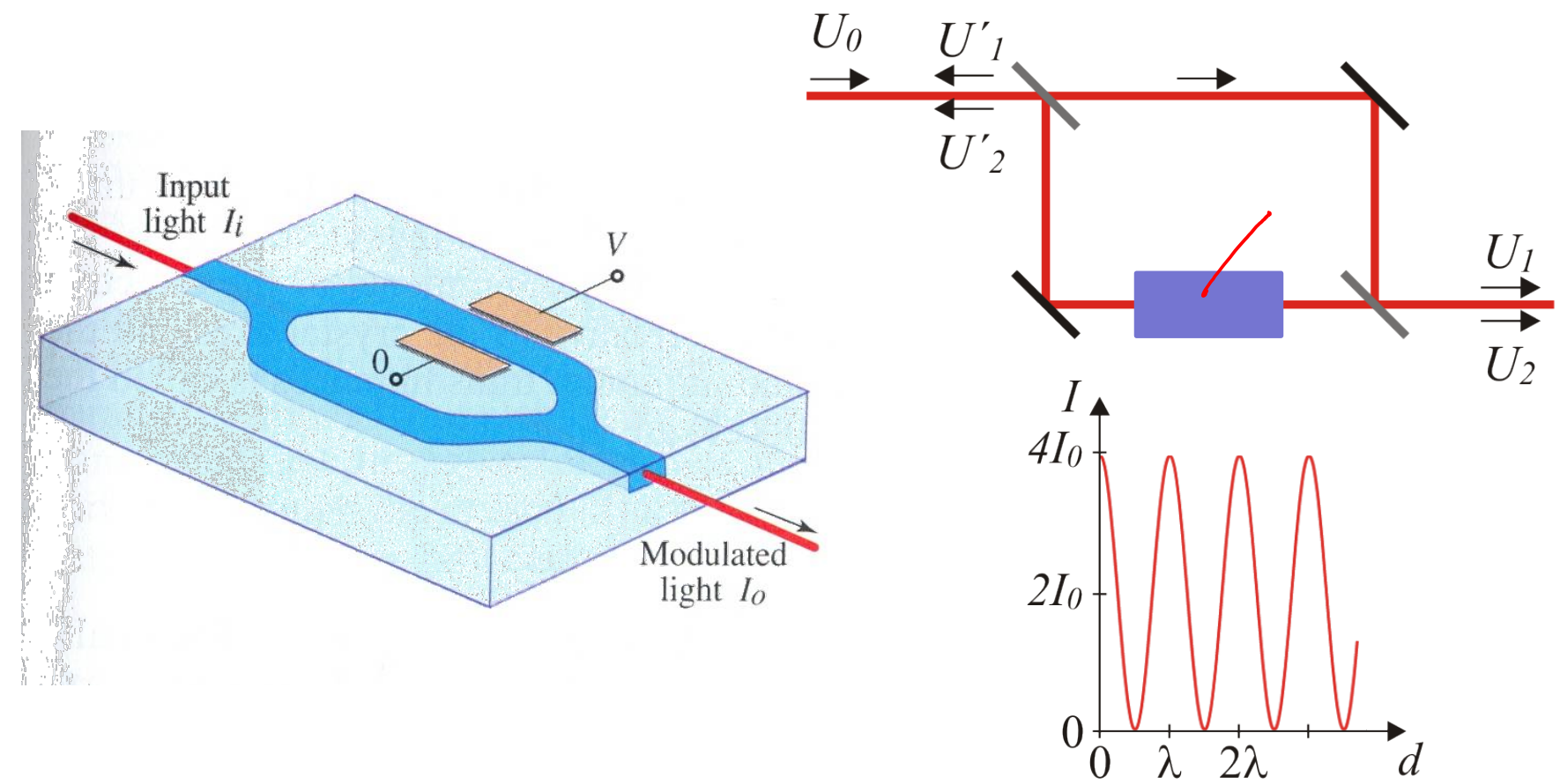


En tenant compte des pertes:



Modulateur électro-optique

 En injectant des charges dans un semiconducteur, on change son indice de réfraction → on change la vitesse de propagation → on module l'interférence à la sortie du guide (constructive/destructive)



Les pertes radiatives limitent le rayon de courbure des guides

 Un grand contraste diminue les pertes radiatives

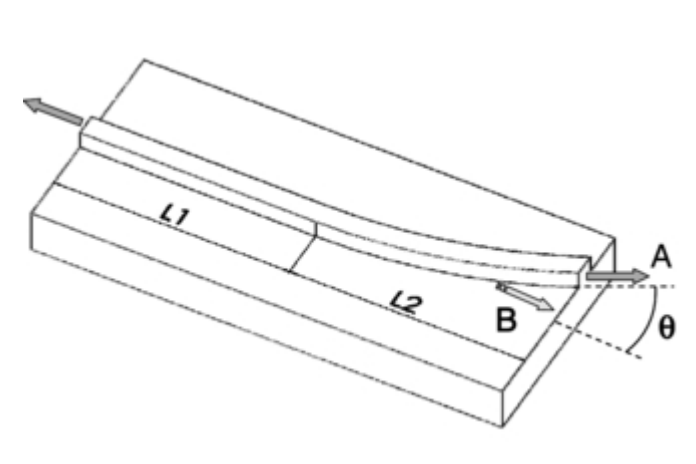
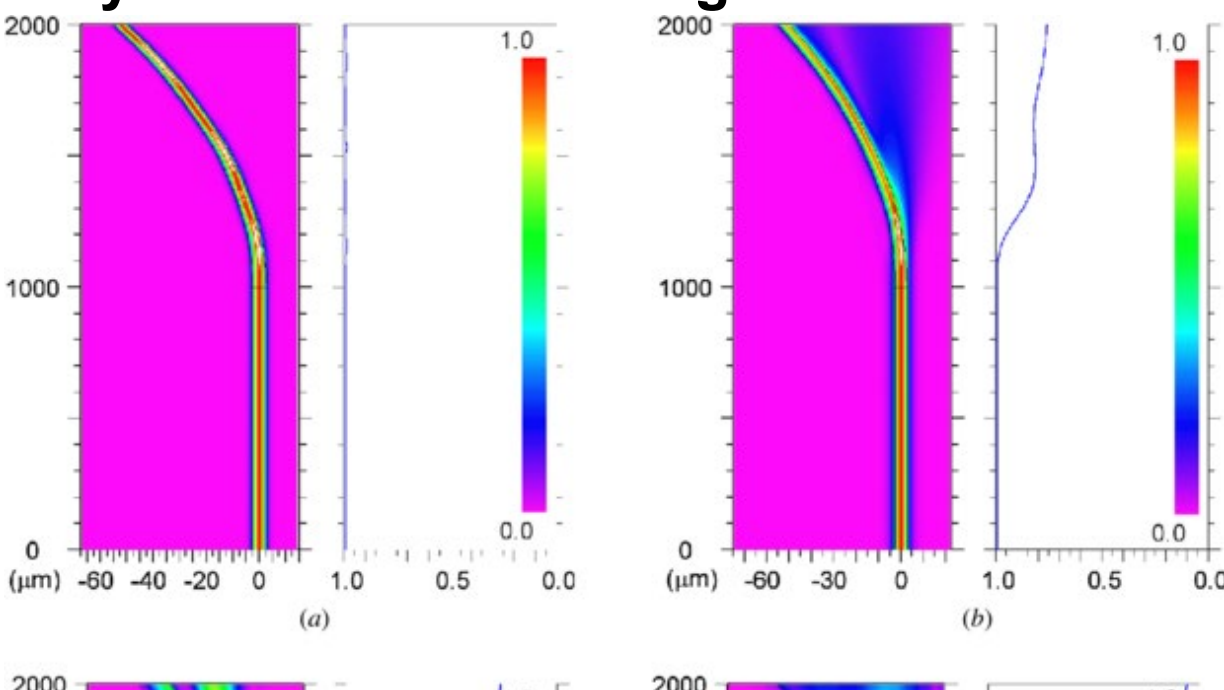
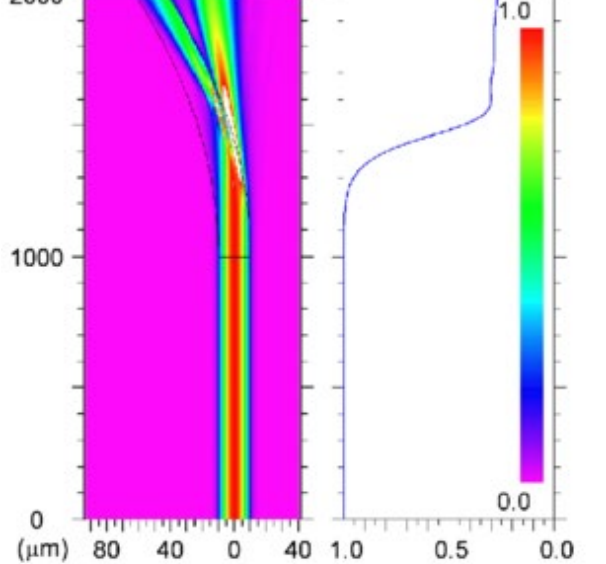


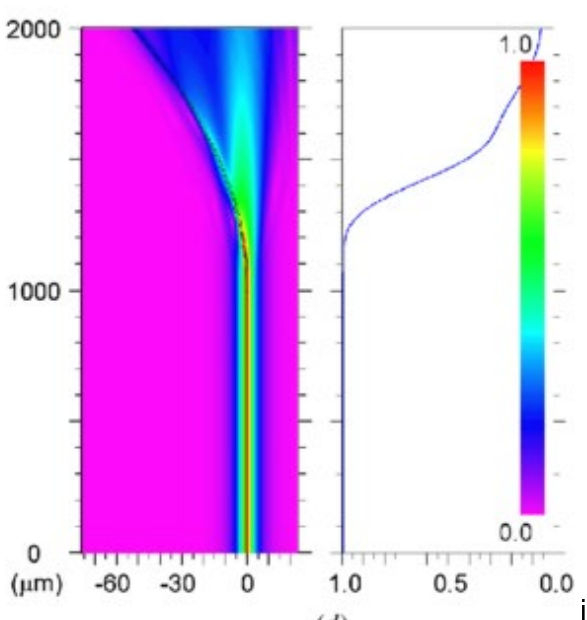
Table 2. The structural parameters of figure 2.

$L_1 = 1 \text{ mm}, L_2 = 1 \text{ mm}, R = 0.9567 \text{cm} (\theta = 6^\circ)$			
(a)	(b)	(c)	(d)
$w_R = 5 \mu \text{m}$ $\Delta n = 0.01^1$	$w_R = 5 \mu m$ $\Delta n = 0.003^2$	$w_R = 20 \ \mu \text{m}$ $\Delta n = 0.003$	$w_R = 1 \mu m$ $\Delta n = 0.003$





(c)

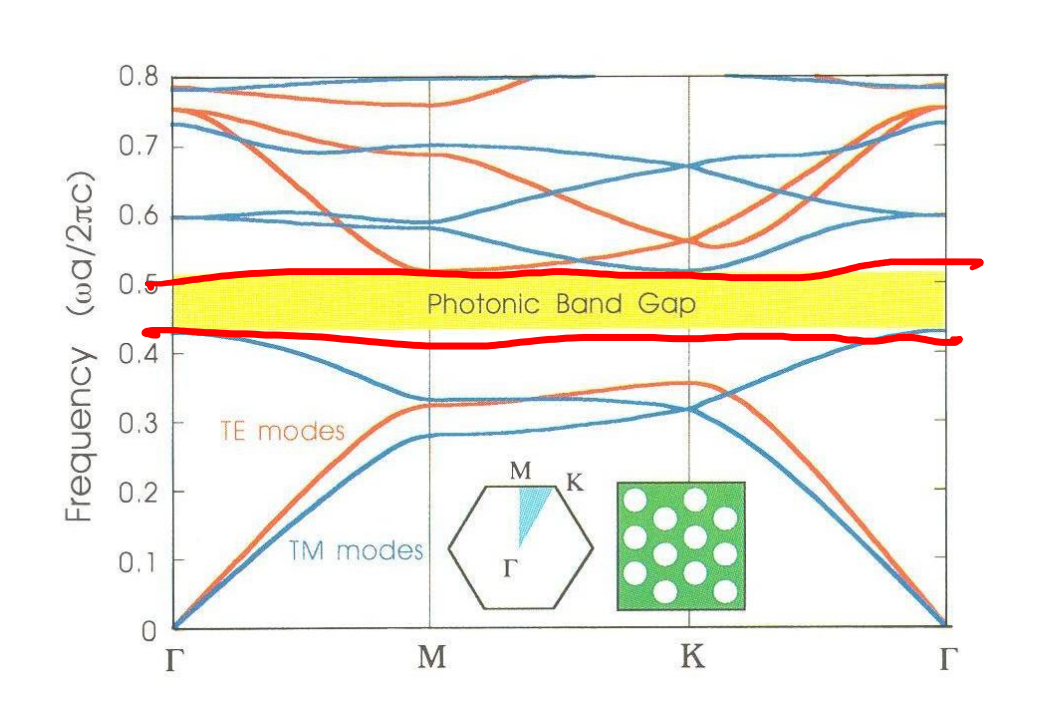


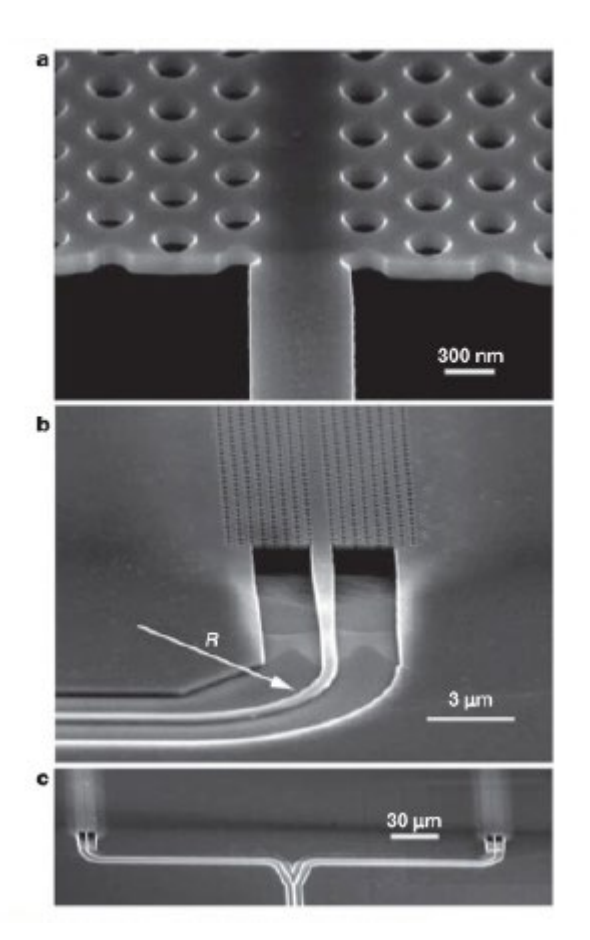
ier J.F. Martin

Semicond. Sci. Technol. 27, 055003 (2012)

Cristaux photoniques

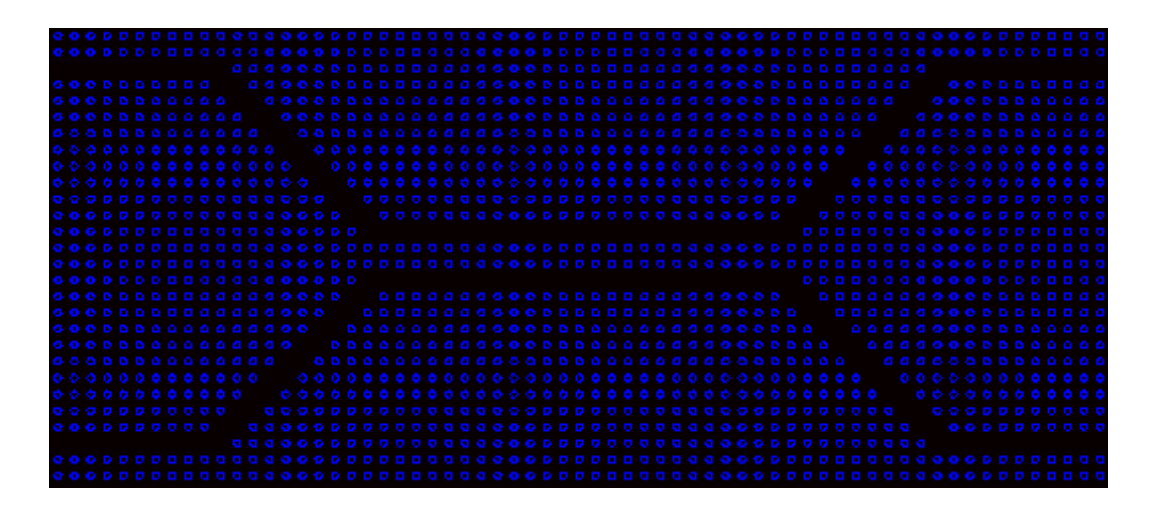
 Les cristaux photoniques sont l'équivalent pour les photons des semiconducteurs pour les électrons: il y existe un bandgap, une gamme de fréquences dans laquelle la lumière ne peut pas se propager





Cristaux photoniques

 La lumière est obligée de suivre le chemin tracé dans le cristal photonique et on peut lui faire prendre des chemins abruptes



Ingénierie optique

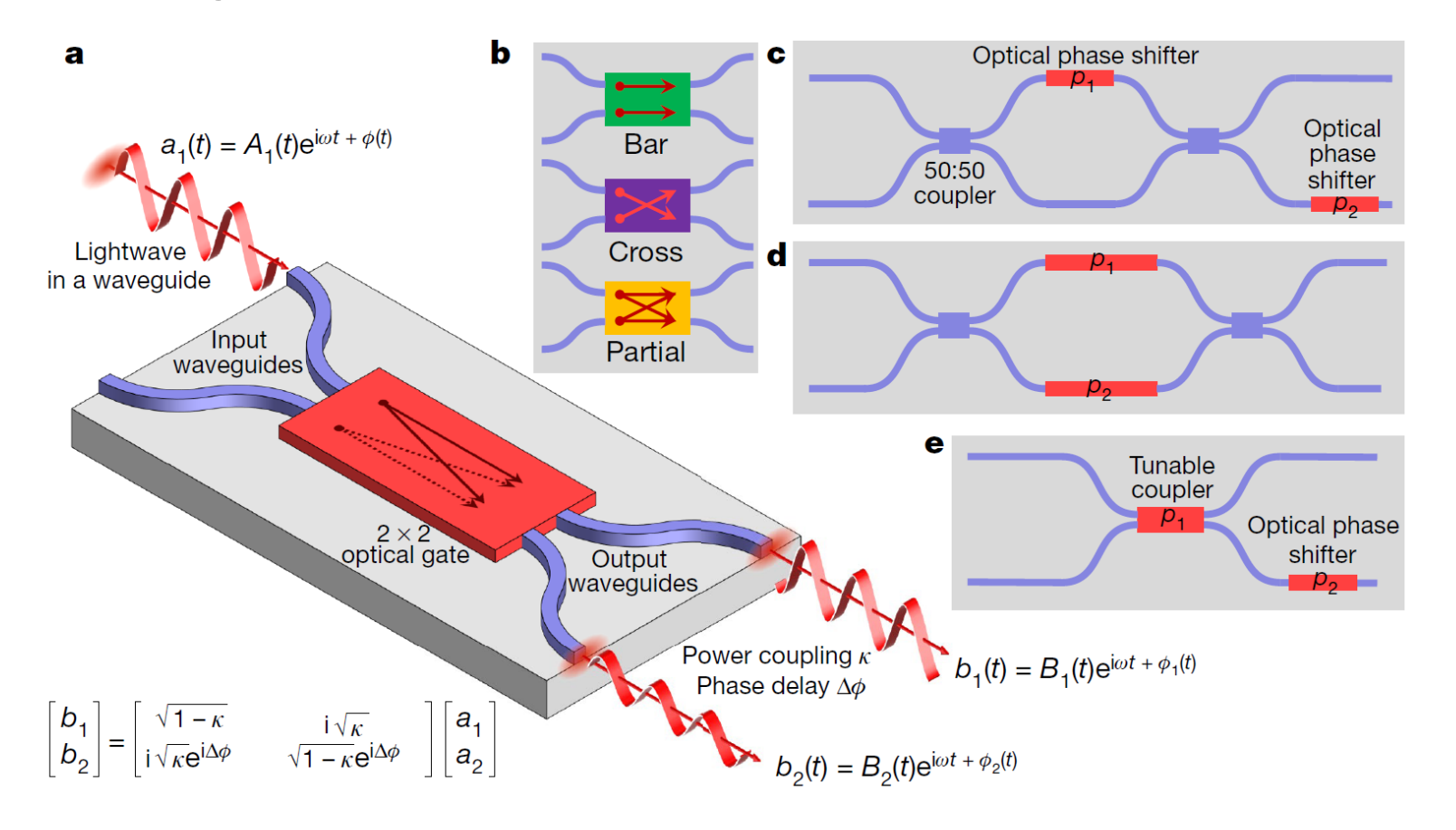
Semaine 9 – partie 5





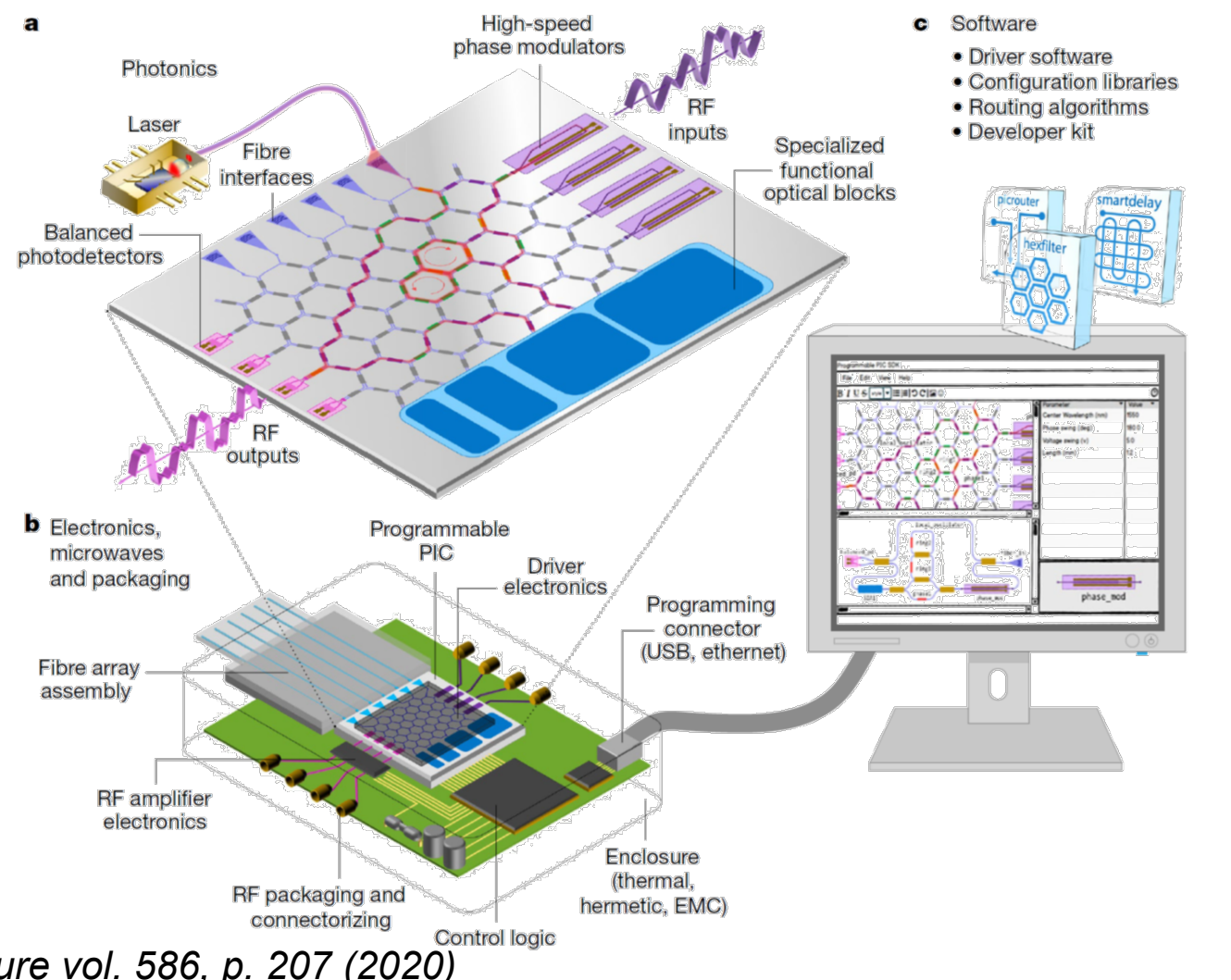
Optique intégrée

• Du traitement du signal basic peut être effectué au niveau optique



Intégration avec CMOS

Il faut cependant toujours une couche électronique – Intégration hybride

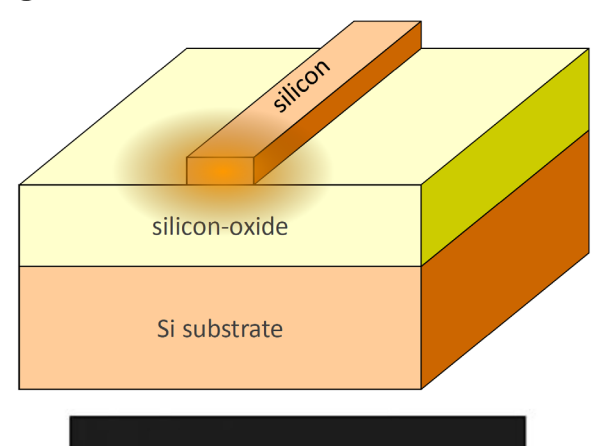


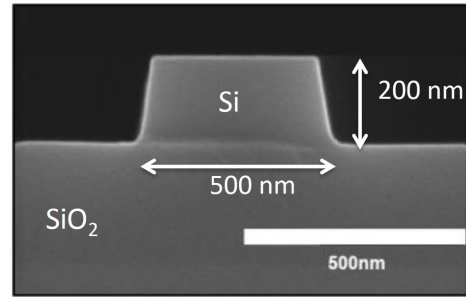


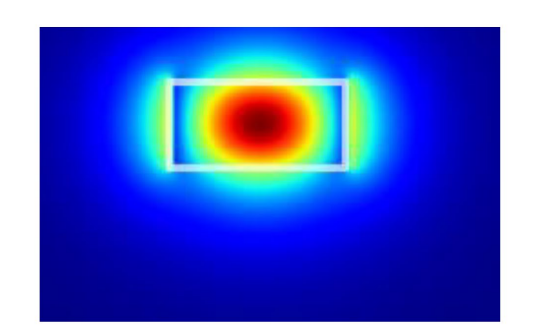
W. Bogaerts, Nature vol. 586, p. 207 (2020)

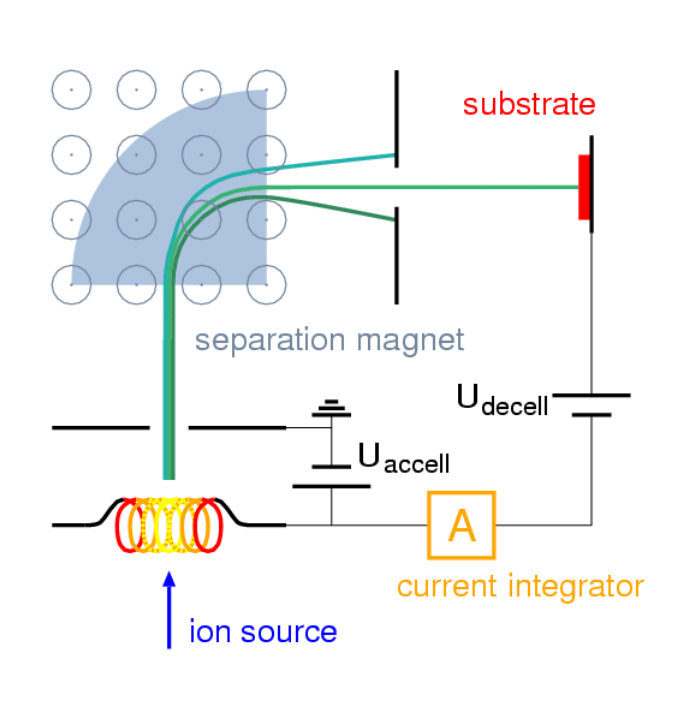
Silicon on Insulator (SOI)

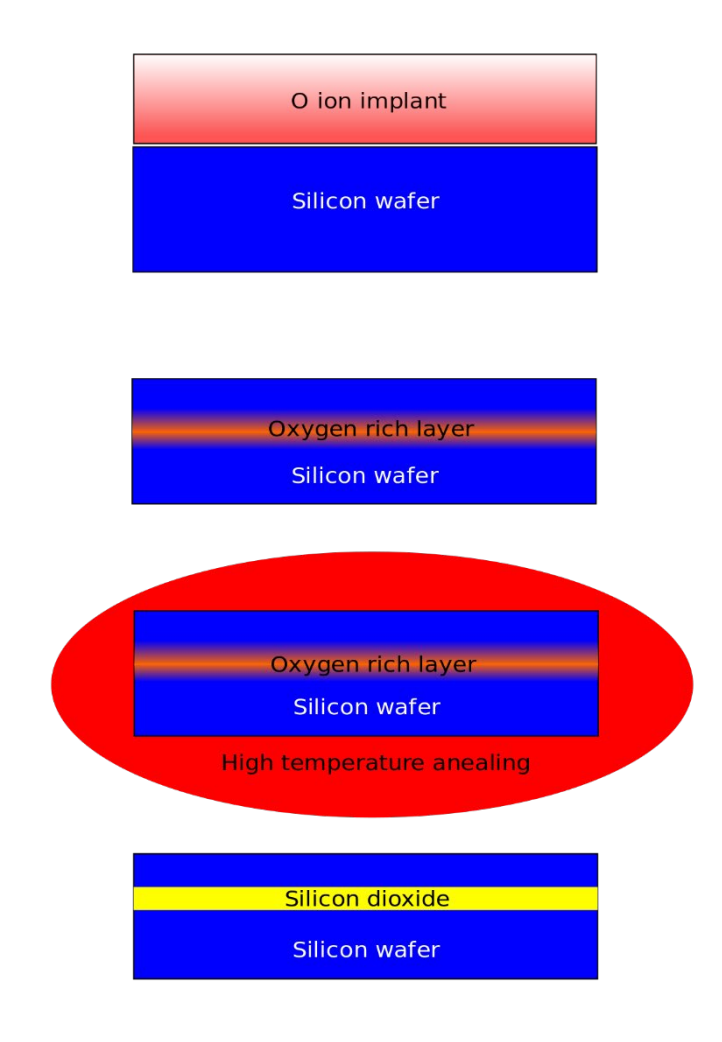
 Une couche de Si pour guider la lumière sur une couche de verre (SiO₂) pour augmenter le contraste d'indice et donc le confinement de la lumière





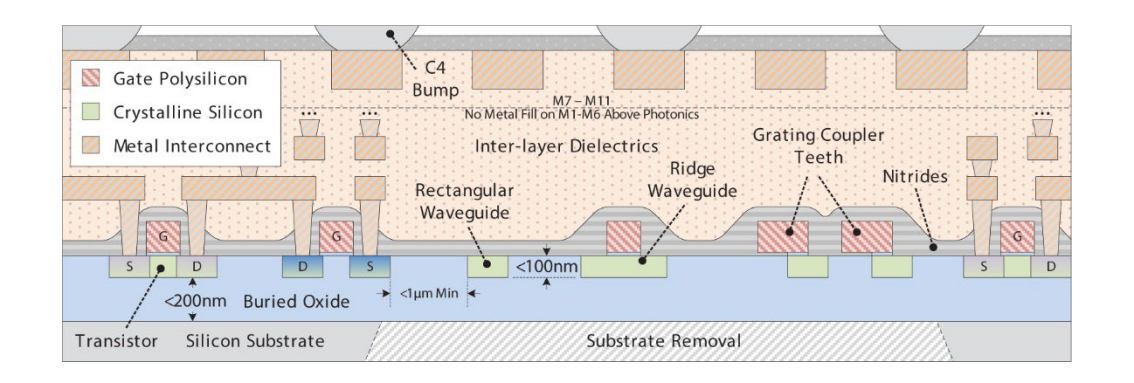


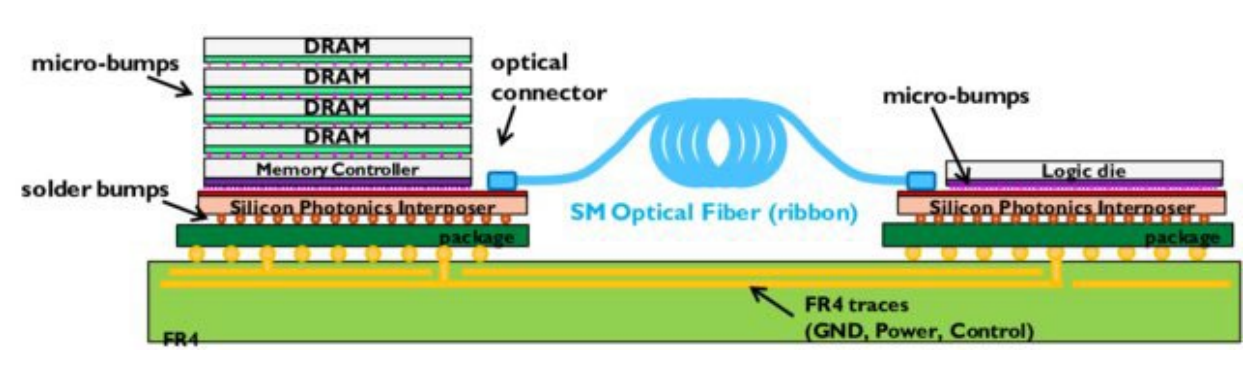


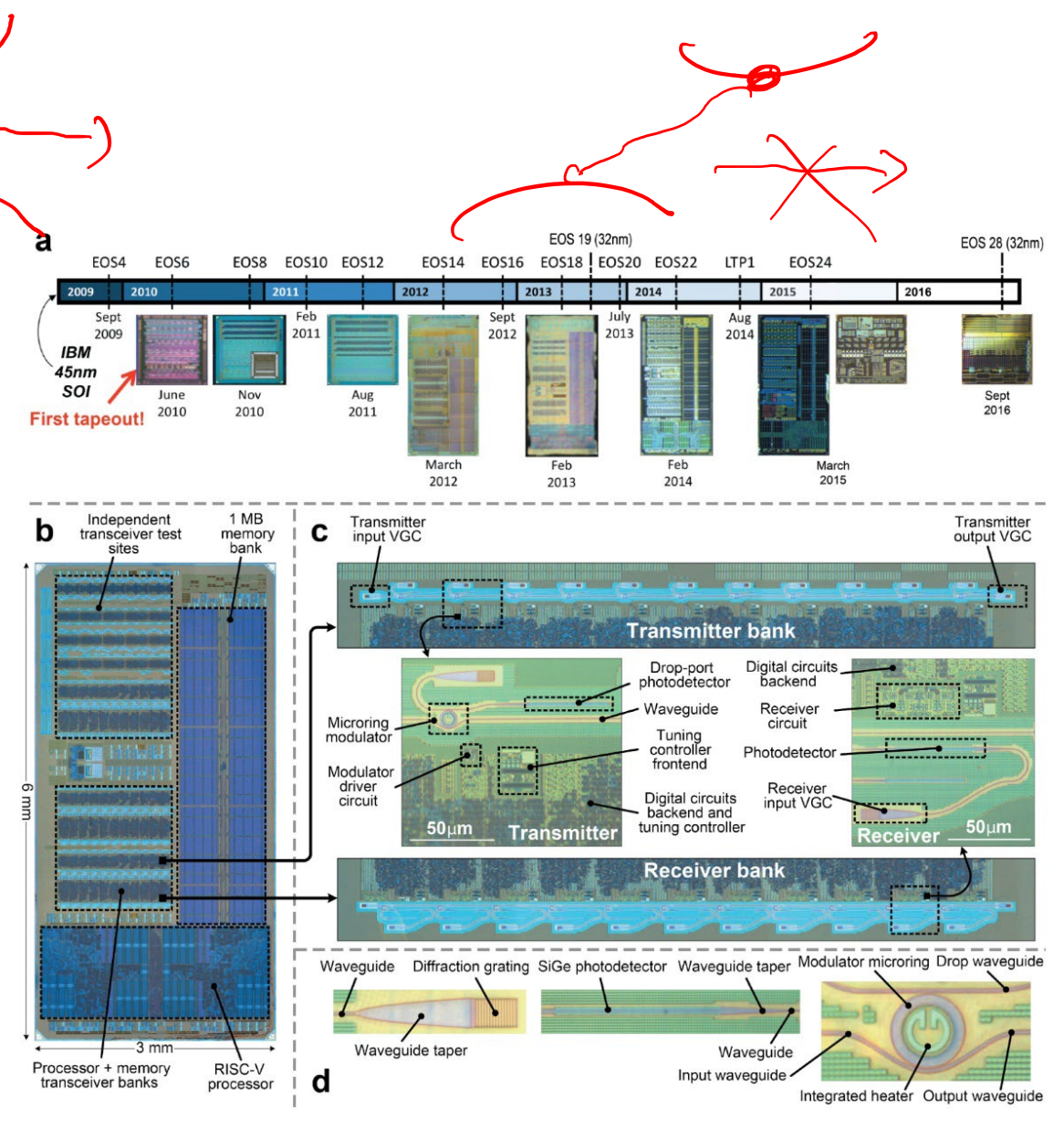


Silicon on Insulator (SOI)

Intégration avec CMOS

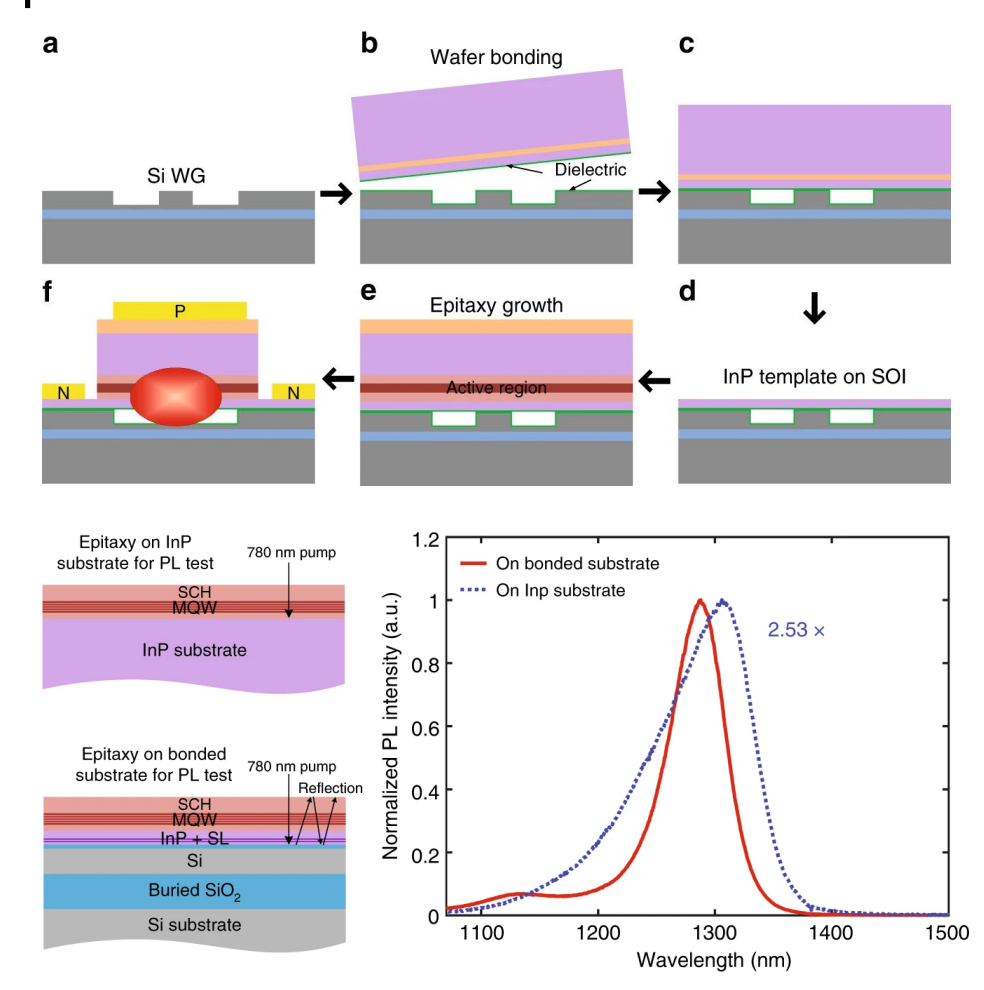


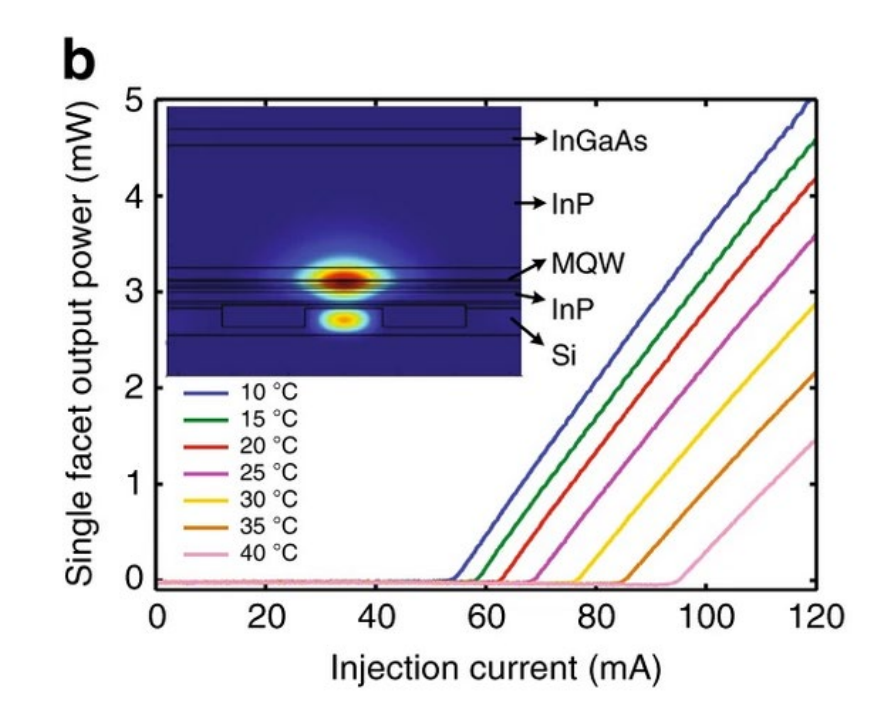


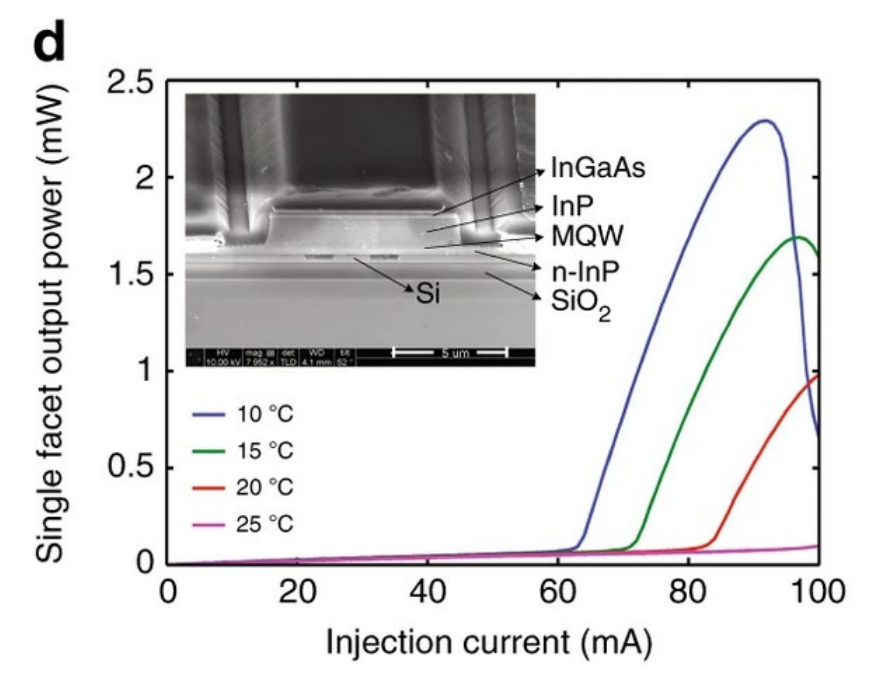


Silicon on Insulator (SOI)

 Intégration avec CMOS... et des matériaux III/V pour la réalisation de lasers

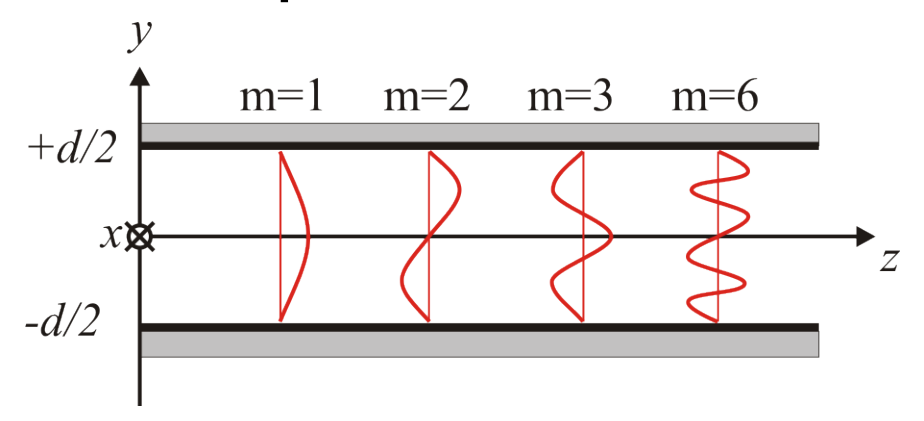






V. Stojanović, Optics Express vol. 26, p. 13106 (2018)

Modes guidés – Distribution du champ



$$E_x(y,z) = a_m u_m(y) e^{-j\beta_m z}$$

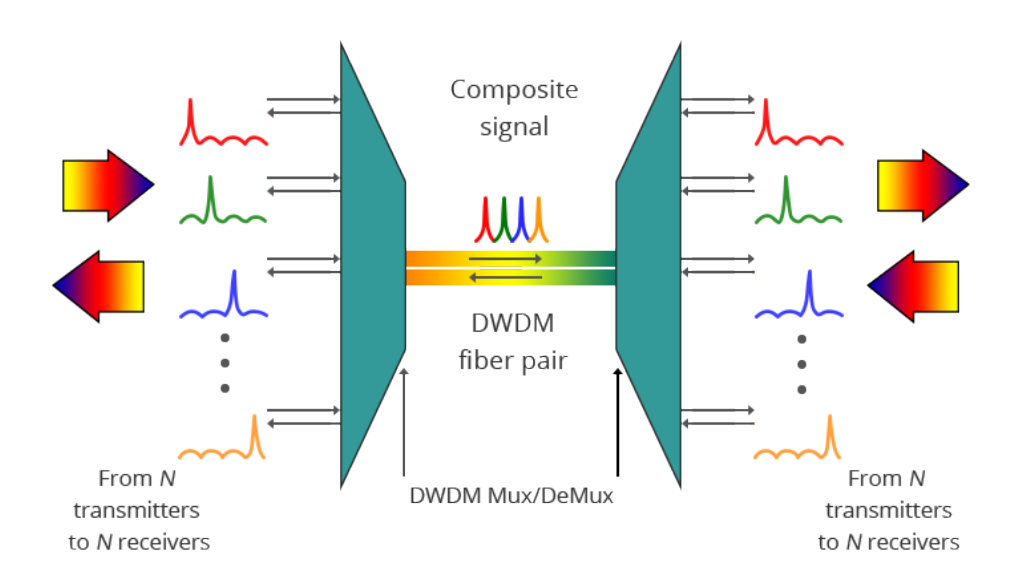
Normalisation
$$\int_{-d/2}^{d/2} u_m^2(y) dy = 1$$

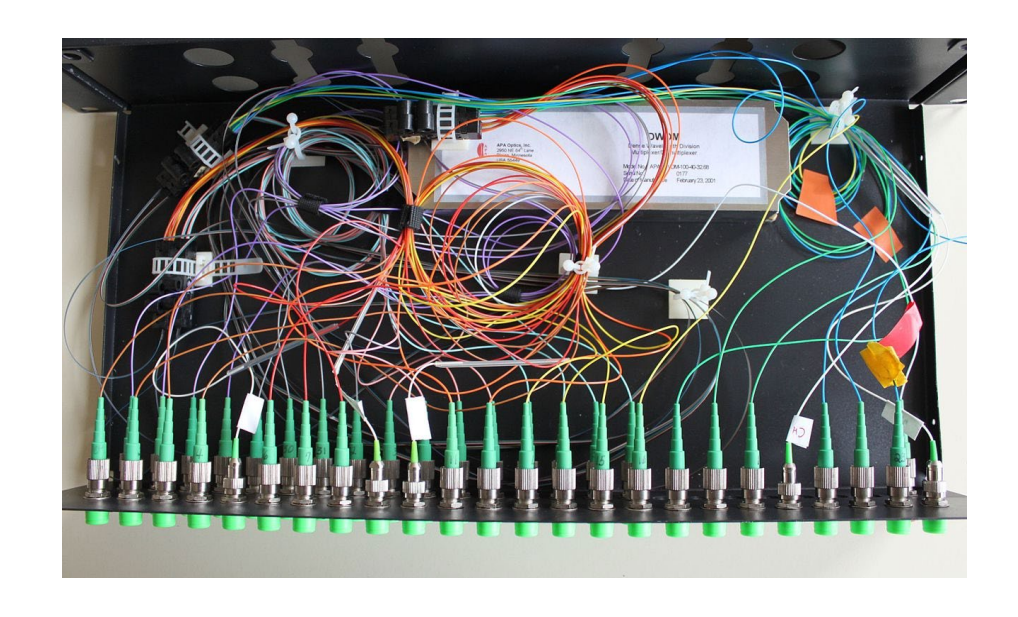
Propriété d'orthogonalité

$$\int_{-d/2}^{d/2} u_l(y) u_m(y) dy = 0, \quad \text{si } l \neq m.$$

Dense wavelength division multiplexing (DWDM)

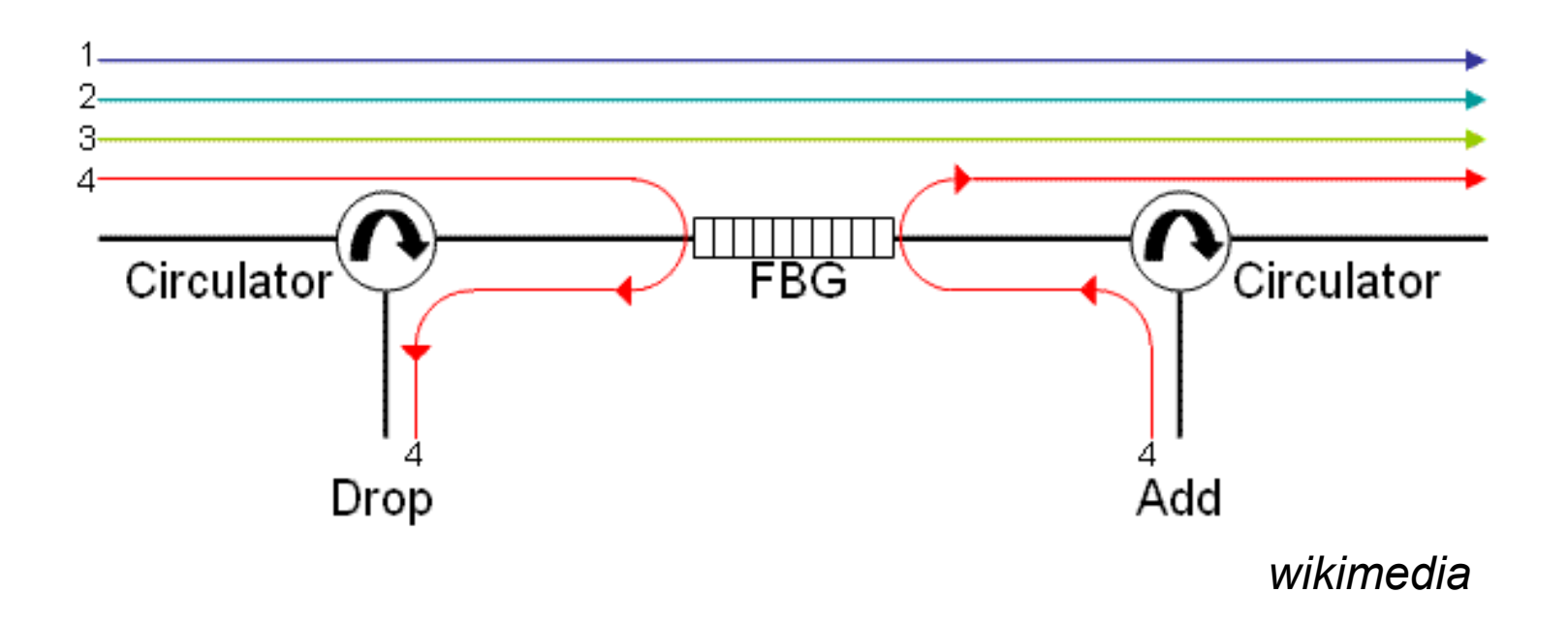
- Un attrait important de la fibre optique est que plusieurs longueurs d'onde très proches peuvent se propager dans la même fibre sans interagir
- Jusque 160 canneaux entre λ =1530 nm et 1560 nm





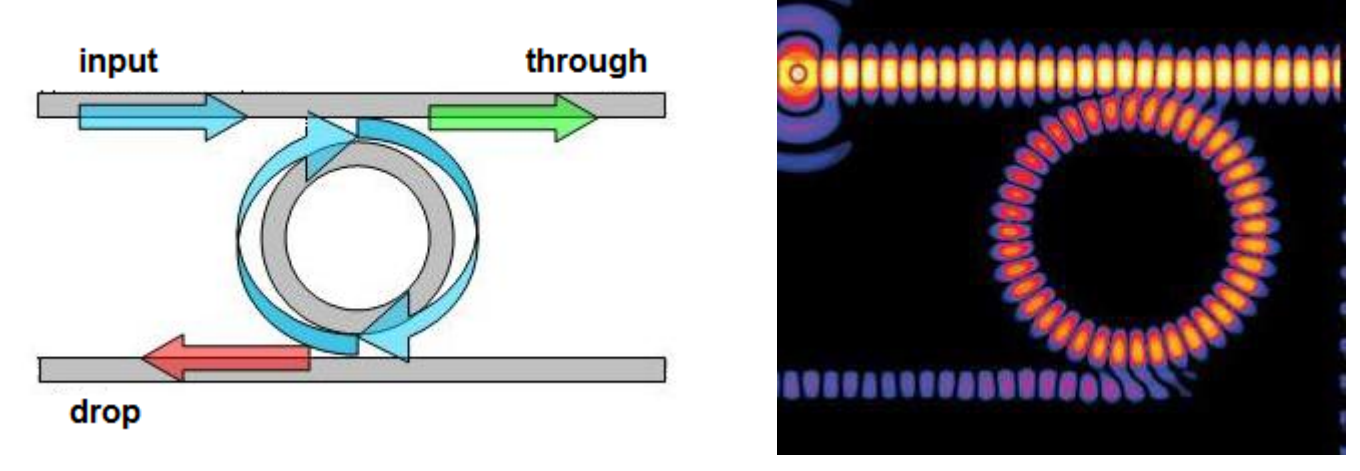
Dense wavelength division multiplexing (DWDM)

 Des systèmes de filtres interférentiels (réseau de Bragg) permettent d'extraire une seule longueur d'onde de la fibre optique



Couplage par cavité résonante

 Une cavité résonante placée entre deux guides d'onde permet aussi d'extraire une longueur d'onde spécifique



Schmid & Partners

